

Τό δυνατό έργο των έξι αεριών δυνάμεων έναν:

$$Aa = P_i \bar{d}_i + M_j \bar{q}_j \quad (6.2.1)$$

Ένω τό δυνατό έργο των φορίων διατομής έναν:

$$Ai = \int M \Delta d\bar{q} + \int Q \Delta dh + \int N \Delta ds \quad (6.2.2)$$

Όπου ή δύνη πετρώση έχεινεται σε ίδιο τον φορέα. Άν στον φορέα υπάρχει κάποιας στην οποία λόγω των έξι αεριών φορίων άναπτώσεται η άδυνατή δύναμης ισούται με την πετρώση των φορίων της λόγω της δυνατής μετασύνθετης έναν Δλ, τότε ή 6.2.2 γίνεται:

$$Ai = \int M \Delta d\bar{q} + \int Q \Delta dh + \int N \Delta ds + S \Delta \bar{L} \quad (6.2.3)$$

Η άρχη των δυνατών έργων δημιώνει το τό δυνατό έργο των έξι αεριών φορίων λεσχών με τό δυνατό έργο των φορίων διατομής, δηλαδή:

$$Aa = Ai \sim P_i \bar{d}_i + M_j \bar{q}_j = \int M \Delta d\bar{q} + \int Q \Delta dh + \int N \Delta ds + S \Delta \bar{L} \quad (6.2.4)$$

Στην γενική περίπτωση των μητρώων φορίων στην οποία έντρομον το φορτίο P_1, P_2, \dots, P_n και οι πο-τές-φορτία M_1, M_2, \dots, M_n ή 6.2.4 ισχύουν την μορφή:

$$\sum P_i \bar{d}_i + \sum M_j \bar{q}_j = \int M \Delta d\bar{q} + \int Q \Delta dh + \int N \Delta ds + \sum S \Delta \bar{L} \quad (6.2.5)$$

Μί την βοηθεια της άρχης των δυνατών έργων μηπορούμε νά υπολογίσουμε τη μετα-αίμην δια. (δ πρώτως δίκιτης άναρτήτεται στην θέση και διάτερος στό αίτιο) των φορέα συναρτήσει την γνωστήν για τό αίτιο α (φόρτων ή ιαταναγματών) έξι αεριών παραμορφώσεων $\Delta d\bar{q}$, Δdh , Δds και $\Delta \bar{L}$.

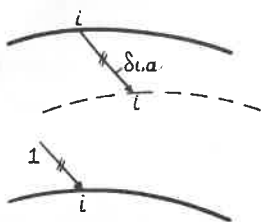
Φοριάσουμε τόν απολλογήνειο άπό τό αίτιο α φορέα με την βοηθειαί μοναδιαία φορ-τσον $\bar{N}_i = +1$ ή διοία έναν ή έργα άνταπουρινόμετη στην μετασύνθετη δια και προσ-διορίσουμε τά φορτία διατομής \bar{M}_i , \bar{Q}_i , \bar{N}_i των δομών και τίς τδούς \bar{S}_i . Ήλιν την πάθωμα. Θεωρούμε τή φόρτων $\bar{N}_i = +1$ σάν την πραγματική φόρτων του φορέα και τίς μετασύνθετης πού έχει προμαθέσει τό αίτιο α και δυνατής μετασύνθετης και έφαρμάσου-με την 6.2.5 :

$$1. \deltaia = \int \bar{M}_i \Delta d\bar{q}, a + \int \bar{Q}_i \Delta dh, a + \int \bar{N}_i \Delta ds, a + \sum \bar{S}_i \Delta \bar{L}, a \quad (6.2.6)$$

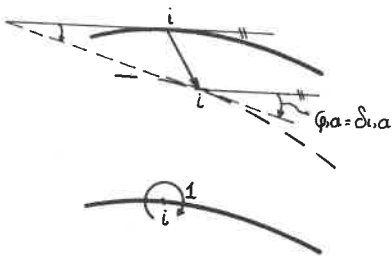
Άπό την 6.2.6 υπολογίζεται ή δια τον ήν την προώην θέσην σημαίνει ον πραγματο-πο-τέας και την έννοια της θέσης βοηθητής φόρτων \bar{N}_i . Ή γνόμενο $\bar{1} : \bar{d}_i, a$ ή και δι-αστάθεις έργου άπό τόν μονάδα του \bar{N}_i , μπορεί νά προσδιοριστεί και ή μονάδα μέτρησης του δια.

Στό σχήμα 6.3 παριστάνονται οι δημιωθέσις μετασύνθετης με τίς διαίστοιχες μονάδαις βοηθητής φορίων.

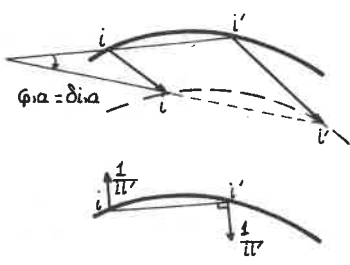
1. Μετατόπιση σημάνων



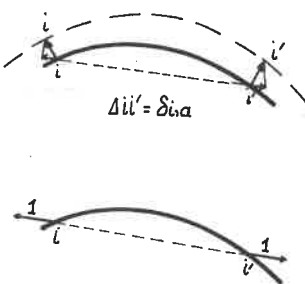
2. Στροφή έφαπτομένων



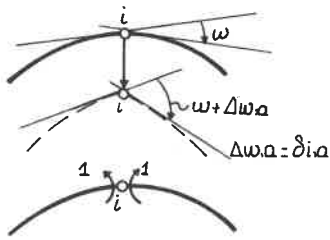
3. Στροφή ώθησας



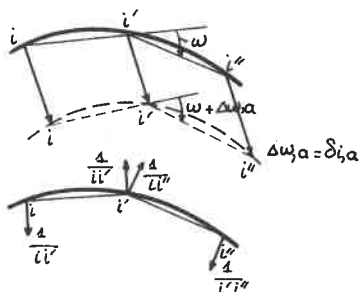
4. Αρμοίβαια μετατόπιση σημάνων



5. Αρμοίβαια στροφή έφαπτομένων



6. Αρμοίβαια στροφή ώθησών



6.3 Οι μετασυντίσεις από την φόρτωση.

Σέ είναι μιατό φορία ώπό τήν έπειτα της φόρτους ρ αναπτύσσονται στις δομούς τά φορτία διατομής $M_{p,Q,p}$, N_p πού προκαλούνται από την φόρτωση στοιχείο της παραμορφώσεως $\Delta d_q, p$, $\Delta d_h, p$, $\Delta d_s, p$ και τούς πάθοδους οι απονικής δυνάμεις $S_{t,p}$ πού προκαλούνται από την παραμορφώσεως $\Delta t_r, p$. Οι παραμορφώσεις ανθίζονται με τη μεγέθυνση της στάσης με την σχέση:

$$\Delta d_q, p = \frac{M_{p,q}}{EJ} ds, \quad \Delta d_h, p = N_p \frac{Q, p}{GF} ds, \quad \Delta d_s, p = \frac{N_p}{EF} ds, \quad \Delta t_r, p = \frac{S_{t,p} l_t}{E_F F_t} \quad (6.3.1)$$

όπου E και G το μέτρο έλαστωσης και το μέτρο ολισθήσεως αντίστοιχα του ίδιου του την δομής F το έμβαδό της διατομής των και J τη ροτού αδράνειας της προς την ουδέτερη αξονά, K ο σταθερά έξαρτημένη από τη στάση της διατομής των, E_t το μέτρο έλαστωσης της ράβδου τ και F_t το έμβαδό της διατομής των.

Από της 6.2.6, 6.3.1 προωθεύεται:

$$\bar{1} \cdot \delta_{i,p} = \int \bar{M}_{i,p} M_{p,p} \frac{ds}{EJ} + \int \bar{Q}_{i,p} Q_{p,p} \frac{ds}{GF} + \int \bar{N}_{i,p} N_{p,p} \frac{ds}{EF} + \sum_t \bar{S}_{t,p} S_{t,p} \frac{l_t}{E_F F_t} \quad (6.3.2)$$

Η 6.3.2 μπορεί να γραψει και μέ μορφή:

$$\delta_{i,p} = \delta_{i,p,m} + \delta_{i,p,q} + \delta_{i,p,N} + \delta_{i,p,s} \quad (6.3.3)$$

όπου οι τέσσερες άροι του δεξιού συνέλονται έκφρασμον τά μερίδια της μετασύντησης $\delta_{i,p}$ από τα μεγέθη M, Q, N και την στάση S ? Επειδή ματά μανόνα τα' $\delta_{i,p,q}$, $\delta_{i,p,N}$ είναι άμεσης μεγέθυνσε σχέση με τα $\delta_{i,p,m}$, $\delta_{i,p,s}$ μπορούμε να τα παραληφθούμε δημότε τη 6.3.2 λαμβάνει τη μορφή:

$$\bar{1} \cdot \delta_{i,p} = \int \bar{M}_{i,p} M_{p,p} \frac{ds}{EJ} + \sum_t \bar{S}_{t,p} S_{t,p} \frac{l_t}{E_F F_t} \quad (6.3.4)$$

Τό διλουλήρωμα της 6.3.4, πού ευτείνεται σε έλο τη μήνυσ του φορτία, αναλύεται σε άθροισμα διλουλήρωματων μαθένα από τα δημότα ευτείνεται ματά μήνυσ μιας μόνης δομού του φορτία? Επειδή στις περισσότερες έφαρμογές μαθέ δομούς του φορτία έχει σταθερή ροτού άδράνειας J , το αντίστοιχο διλουλήρωμα της δομού μετα-εκματίζεται ως έξης:

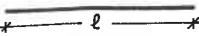
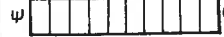
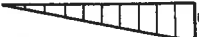
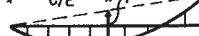
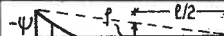
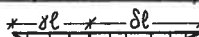
$$\int \bar{M}_{i,p} M_{p,p} \frac{ds}{EJ} = \frac{1}{EJ} \int \bar{M}_{i,p} M_{p,p} ds = \frac{1}{EJ_c} \left(\frac{1}{3} \int \bar{M}_{i,p} M_{p,p} ds \right)$$

όπου J_c ανθίζεται ροτού άδράνειας, πού για δημότα δομούς. Καταλήγουμε δημότη στο διλουλήρωμα τη γινομένων των τεταγμένων των δύο διαγραμμάτων \bar{M}_i και $M_{p,p}$ της δομού. Οι τημένες των διλουλήρωματων αυτών έχουν συστηματοποιηθεί σε πίνακες και έτοι αποφέγγεται η αναλυτική διλουλήρωση. Στόν πίνακα 6.1 δίνονται για την πίνακας μορφές διαγραμμάτων M_ψ και M_φ οι τημένες των διλουλήρωματων $\int M_\psi M_\varphi dx$. Αν μαθένα από τα M_ψ και M_φ προώπους από την ισορροπία δύο διαγραμμάτων M και M'' πού περιλαμβάνονται στούς πίνακες, μπορεί για τη διπλογραφή του διλουλήρωματος να έφαρμοστε διπλοφορτικάς μανόνας:

$$M_\psi M_\varphi = (M'_\psi + M''_\psi) (M'_\varphi + M''_\varphi) = M'_\psi M'_\varphi + M'_\psi M''_\varphi + M''_\psi M'_\varphi + M''_\psi M''_\varphi$$

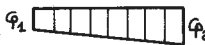
Τέλος δη το διαγραμμα M_ψ δίνει συμμετρία και το M_φ δίνει συμμετρία τότε:

$$\int M_\psi M_\varphi dx = 0$$

Πίνακας 6.1		Τιμές των διλογικοριθμάτων	
	φ		φ
	$\psi \varphi$	$\frac{1}{2} \psi \varphi$	$\frac{1}{2} \psi \varphi$
	$\frac{1}{2} \psi \varphi$	$\frac{1}{3} \psi \varphi$	$\frac{1}{6} \psi \varphi$
	$\frac{1}{2} \psi \varphi$	$\frac{1}{6} \psi \varphi$	$\frac{1}{3} \psi \varphi$
	$\frac{1}{2} \varphi(\psi_1 + \psi_2)$	$\frac{1}{6} \varphi(\psi_1 + 2\psi_2)$	$\frac{1}{6} \varphi(2\psi_1 + \psi_2)$
	0	$-\frac{1}{6} \psi \varphi$	$\frac{1}{6} \psi \varphi$
 παραβολή ή συν βαθμού	$\frac{2}{3} \psi \varphi$	$\frac{1}{3} \psi \varphi$	$\frac{1}{3} \psi \varphi$
 παραβολή ή συν βαθμού	$\frac{1}{6} \varphi(\psi_1 + 4\psi_2 + \psi_3)$	$\frac{1}{6} \varphi(2\psi_2 \psi_3)$	$\frac{1}{6} \varphi(\psi_1 + 2\psi_2)$
 παραβολή ή συν βαθμού	$\frac{1}{3} \psi \varphi$	$\frac{1}{4} \psi \varphi$	$\frac{1}{12} \psi \varphi$
 παραβολή ή συν βαθμού	$\frac{1}{3} \psi \varphi$	$\frac{1}{12} \psi \varphi$	$\frac{1}{4} \psi \varphi$
 παραβολή ή συν βαθμού	$\frac{2}{3} \psi \varphi$	$\frac{5}{12} \psi \varphi$	$\frac{1}{4} \psi \varphi$
 παραβολή ή συν βαθμού	$\frac{2}{3} \psi \varphi$	$\frac{1}{4} \psi \varphi$	$\frac{5}{12} \psi \varphi$
 παραβολή ή συν βαθμού	$\frac{1}{6} \varphi(4f - 3\psi)$	$\frac{1}{3} \varphi(f - \psi)$	$\frac{1}{6} \varphi(2f - \psi)$
 παραβολή ή συν βαθμού	$\frac{1}{6} \varphi(4f - 3\psi)$	$\frac{1}{6} \varphi(2f - \psi)$	$\frac{1}{3} \varphi(f - \psi)$
 παραβολή ή συν βαθμού	$\frac{1}{2} \psi \varphi$	$\frac{1}{6} \psi \varphi(1+\gamma)$	$\frac{1}{6} \psi \varphi(1+\delta)$

"o": δριζόντια έφαπτομένη

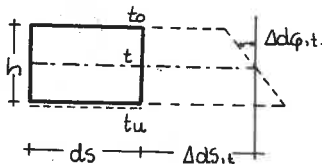
$$\int M \varphi M \varphi dx = l \cdot (\text{μηνί τοῦ πλάνωμα})$$

		
$\frac{1}{2} \psi(\varphi_1 + \varphi_2)$	0	$\frac{1}{2} \psi \varphi$
$\frac{1}{6} \psi(\varphi_1 + 2\varphi_2)$	$-\frac{1}{6} \psi \varphi$	$\frac{1}{6} \psi \varphi(1+\alpha)$
$\frac{1}{6} \psi(2\varphi_1 + \varphi_2)$	$\frac{1}{6} \psi \varphi$	$\frac{1}{6} \psi \varphi(1+\beta)$
$\frac{1}{6} (\psi_1(2\varphi_1 + \varphi_2) + \psi_2(\varphi_1 + 2\varphi_2))$	$\frac{1}{6} \varphi (\psi_1 - \psi_2)$	$\frac{1}{6} \varphi (\psi_1(1+\beta) + \psi_2(1+\alpha))$
$\frac{1}{6} \psi(\varphi_1 - \varphi_2)$	$\frac{1}{3} \psi \varphi$	$\frac{1}{6} \psi \varphi(1-2\alpha)$
$\frac{1}{3} \psi(\varphi_1 + \varphi_2)$	0	$\frac{1}{3} \psi \varphi(1+\alpha\beta)$
$\frac{1}{6} (\psi_1 \varphi_1 + 2\psi_2(\varphi_1 + \varphi_2) + \psi_3 \varphi_2)$	$\frac{1}{6} \varphi (\psi_1 - \psi_3)$	$\frac{1}{6} \varphi (\psi_1 \beta + 2\psi_2 + \psi_3 \alpha - \alpha \beta (\psi_1 - 2\psi_3 + \psi_2))$
$\frac{1}{12} \psi(\varphi_1 + 3\varphi_2)$	$-\frac{1}{6} \psi \varphi$	$\frac{1}{12} \psi \varphi(1+\alpha+\alpha^2)$
$\frac{1}{12} \psi(3\varphi_1 + \varphi_2)$	$\frac{1}{6} \psi \varphi$	$\frac{1}{12} \psi \varphi(1+\beta+\beta^2)$
$\frac{1}{12} \psi(3\varphi_1 + 5\varphi_2)$	$-\frac{1}{6} \psi \varphi$	$\frac{1}{12} \psi \varphi(5-\beta-\beta^2)$
$\frac{1}{12} \psi(5\varphi_1 + 3\varphi_2)$	$\frac{1}{6} \psi \varphi$	$\frac{1}{12} \psi \varphi(5-\alpha-\alpha^2)$
$\frac{1}{6} (2f(\varphi_1 + \varphi_2) - \psi(\varphi_1 + 2\varphi_2))$	$\frac{1}{6} \psi \varphi$	$\frac{1}{6} \varphi (2f(1+\alpha\beta) - \psi(1+\alpha))$
$\frac{1}{6} (2f(\varphi_1 + \varphi_2) - \psi(2\varphi_1 + \varphi_2))$	$-\frac{1}{6} \psi \varphi$	$\frac{1}{6} \varphi (2f(1+\alpha\beta) - \psi(1+\beta))$
$\frac{1}{6} \psi(\varphi_1(1+\delta) + \varphi_2(1+\gamma))$	$\frac{1}{6} \psi \varphi(1-2\gamma)$	$\frac{\psi \varphi}{6\delta\gamma} (2\gamma - \gamma^2 - \alpha^2) \quad \delta > \alpha$

6.4. Oι υαταναγυασηοι

Καταναγκασμός ονομάζεται όποιοιδηποτε αύτο πού μένει σύνεδροποτε από την φρο-
ρτιστική πού μπορεί να προκαλέσου στὸν φορέα παραμόρφωσην. Στούς λοστοτα-
κών φορέων οι καταναγκασμοί δέν προκαλοῦν έντασην, δηλαδή δέν άναπτυχθο-
νται φορτία διατομῆς. Οι καταναγκασμοί πού δείξεταισυμε μένει ή σύλλαγμ
θερμοκρασίας, οι διαφορές συναρμογῆς πού ή νόποχώρητην των στριτέζων.

1. Η ἀλλαγή Θερμουρασίας.



Σχήμα 6.4

• Η ἀλλοιαγή τῆς Θερμουμοσαθας προκαλεῖ στό ἀπέρο-
στό σωιχτό τίς παραμορφώσους:

$$\Delta d\varphi_t = \frac{a_t \Delta t}{h} ds, \Delta dh_{-t} = 0, \Delta ds = a_t t ds \quad (6.4.1)$$

οπου ατ δ συντελεστής της Θερμασίας διαστάθης του
ιδιωμού, την αλληληγορία της Θερμοκυρασίας του αύξοντα και
 $\Delta t = tu - to$ την αύξηση της Θερμοκυρασίας της ινσα-
ναρερπάση σε σχέση με την θερμοκυρασία της απίενα-
ρτης ινας (σχ. 6.4). Η αλληληγορία της Θερμοκυρασίας

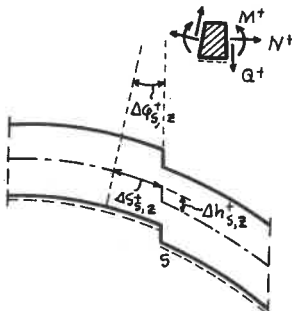
της ράβδου της κατά την προσαή σε αυτή την παραμόρφωση:

$$\Delta l_{t,t} = \alpha_t + \tau_t l_t \quad (6.4.2)$$

Από τις 6.2.G, 6.4.1, 6.4.2 προωθεί:

$$\bar{1} \cdot \delta i_{i,t} = \int \bar{M}_{i,i} \frac{a_t \Delta t}{h} ds + \int \bar{N}_{i,i} a_{t+ds} ds + \sum_{\tau} \bar{S}_{\tau,i} a_{t+\tau} l_{\tau} \quad (6.4.3)$$

2. Οι διαφορές συναρμογής



Σχήμα 69

Σὲ μιά δρισμένης σ' ὁ ἀξονας μικρὰ διουσὶ τοῦ φορέα μπορεῖ να ἔχει μῆκος μεναλύτερον τοῦ μικρότερο ουτοῦ Δ_{S,z} από τὸ προβλεπόμενον να ἐμφανίζει γόνατο γωνίας ΔΦ_{S,z} ἢ ἀλλα γύρους Δh_{S,z} (αρ. 6.5) ἐνώ τὴν ράβδος του της μπορεῖ να ἔχει μῆκος μεγαλύτερον τοῦ μικρότερο ουτοῦ ΔL_{S,z} από τὸ θεωρητικό. Τοί μεγέθη Δ_{S,z}, ΔΦ_{S,z}, Δh_{S,z} ουτοῦ ΔL_{S,z} ὁ νομαδίζονται διαφορές συναρμογῆς ουτοῦ λαμβανοντας δειπνά ἢν πράγματα ποιούνται ουτοῦ την ἐνοια τῶν δειπνῶν φρεσκά διατομῆς. Για τὸς ιατραγγιασμένες αὐτές παραμορφώσεις της 626 λαμβάνει τὴν μορφή:

$$\bar{J} \cdot \delta i_{\tau, z} = \bar{M}_{S,i} \Delta q_{S,z} + \bar{Q}_{S,i} \Delta h_{S,z} + N_{S,i} \Delta g_{S,z} + \bar{s}_{\tau,i} \Delta l_{\tau,z} \quad (6.4.4)$$

· Άν σι πολλείς θέσους των **pop**έων υπάρχουν διαφορετικές συναρμογές ή 6.4.4 νίνεται:

$$\bar{I} \cdot \delta_{i,z} = \sum_s \bar{M}_{s,i} \Delta q_{s,z} + \sum_s \bar{Q}_{s,i} \Delta h_{s,z} + \sum_s \bar{N}_{s,i} \Delta s_{s,z} + \sum_r \bar{S}_r \cdot i \Delta \ell_{r,z} \quad (6.4.5)$$

3. Η υποχώρηση των στρογγυλών.

Με τήν υποχώρηση της στρογγυλών κατά W_q τό απειροστό στοιχείο δεν παραμορφώνεται, δηλαδή:

$$\Delta d_{\varphi, w} = \Delta d_{h, w} = \Delta d_{s, w} = \Delta l_{\tau, w} = 0$$

όποιες με εφαρμογή της δρής των δυνατών έργων λαμβάνουμε:

$$\bar{I} \cdot \delta_{i,w} = \bar{C}_{q,i} W_q \quad (6.4.6)$$

όπου $\bar{C}_{q,i}$ ή έργων ανταποκρινόμενων στην υποχώρηση W_q αντίδραση που άναπτωσεται στην στρογγυλή δύναμη $\bar{F}_i = +\bar{I}$. Τό γινόμενο $\bar{C}_{q,i}$ W_q προσημανεται διανοιώ διανοιώ $\bar{C}_{q,i}$ και W_q έχουν αντιθέτη φορά.

Αν υποχωρίσουν πολλές στρογγυλές τοις φορέα \bar{I} 6.4.6 λαμβάνει την μορφή:

$$\bar{I} \cdot \delta_{i,w} = \sum_q \bar{C}_{q,i} W_q \quad (6.4.7)$$

Στον συγκεντρωτικό πίνακα 6.II υπάρχει τό τωπολόγιο για τον υπολογισμό μετακινήσεων στους ισοστατικούς φορέας.

Μετακινήσεις ισοστατικών φορέων.

1. Λόγω έξωτερων φόρμασης

$$\bar{I} \cdot \delta_{i,p} = \int \bar{M}_{s,i} M_{s,p} \frac{ds}{EJ} + \sum_t \bar{S}_{\tau,i} S_{\tau,p} \frac{l_{\tau}}{E_F F_{\tau}}$$

2. Λόγω αλλαγής θερμοκρασίας.

$$\bar{I} \cdot \delta_{i,t} = \int \bar{M}_{s,i} \frac{\alpha_t \Delta t}{h} ds + \int \bar{N}_{s,i} \alpha_t t ds + \sum_t \bar{S}_{\tau,i} \alpha_t t \tau l_{\tau}$$

3. Λόγω διαφορών συμφορής.

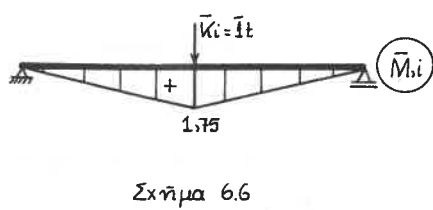
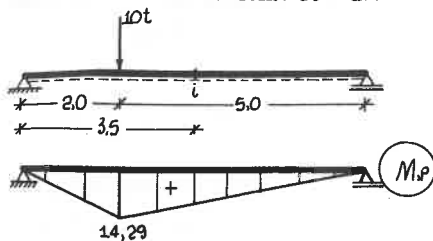
$$\bar{I} \cdot \delta_{i,z} = \sum_s \bar{M}_{s,i} \Delta \varphi_{s,z} + \sum_s \bar{Q}_{s,i} \Delta h_{s,z} + \sum_s \bar{N}_{s,i} \Delta S_{s,z} + \sum_t \bar{S}_{\tau,i} \Delta l_{\tau,z}$$

4. Λόγω υποχώρησης στρογγυλών

$$\bar{I} \cdot \delta_{i,w} = \sum_q \bar{C}_{q,i} W_q$$

Πίνακας 6.II

Παράδειγμα 31: Ζητάται η βάση στην οποία της αμφιέρευσης δοκού του $\sigma_x = 6.6$.
 $EJ = 1.95 \cdot 10^4 \text{ t m}^2$



Σχήμα 6.6

$$= 54.60 (\text{t}^2 \text{m}^3) \quad \bar{\sigma} \cdot \delta_{\text{d.p.}} = \frac{1}{EJ} \int M_{\text{i}} M_{\text{p}} ds = \frac{54.60}{1.95 \cdot 10^4} \sim \delta_{\text{d.p.}} = 2.80 \cdot 10^{-3} \text{ m} = 2.80 \text{ mm}$$

Παράδειγμα 32: Ζητάται η βάση στην οποία της αρθρωτικής φορά του $\sigma_x = 6.7$.

$$\Delta \text{ίνονται: } E = 2.1 \cdot 10^6 \text{ t/mf}, J_1 = 0.65 \cdot 10^{-2} \text{ m}^4, J_2 = 1.3 \cdot 10^{-2} \text{ m}^4$$

Τα διαγράμματα $M_{\text{i,p}}$, \bar{M}_{i} προσδιορίζονται ως εξής. Το διδουλήριο $\int \bar{M}_{\text{i}} M_{\text{p}} ds$ δηλογίζεται τηματικά (AC, CG, GD, DB).

Σώλος AC

$$\begin{array}{c} \text{Diagram of a beam segment from x=0 to x=3.5 with a triangular load from x=0 to x=1.50 and zero from x=1.50 to x=3.5.} \\ 3.5 \times 1.50 \times 4.89 = 3.5 \cdot \left(\frac{1}{3} \cdot (-1.50) \cdot (-4.89) \right) = 8.56 \end{array}$$

Σύγκριμα CG

$$\begin{array}{c} \text{Diagram of a beam segment from x=0 to x=3.0 with a triangular load from x=0 to x=1.50 and zero from x=1.50 to x=3.0.} \\ 3.0 \times 1.50 \times \left[4.89 \left(\frac{1}{3} \cdot (-1.50) \cdot (-4.89) \right) + 1.13 \left(\frac{1}{3} \cdot (-1.50) \cdot 1.13 \right) \right] = 3.0 \cdot \left(\frac{1}{3} \cdot (-1.50) \cdot (-4.89) + \frac{1}{3} \cdot (-1.50) \cdot 1.13 \right) = 5.64 \end{array}$$

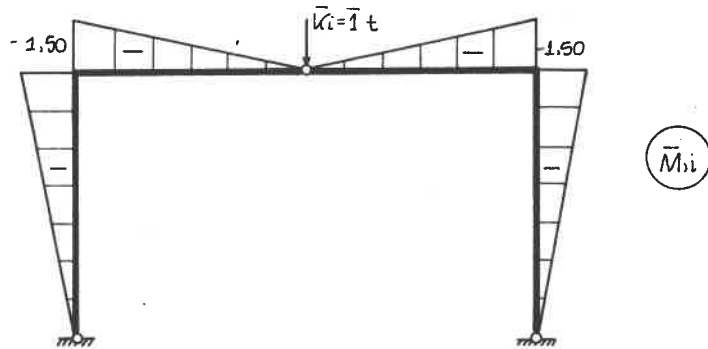
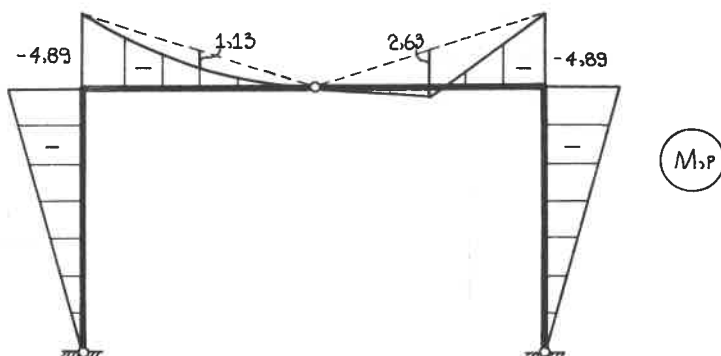
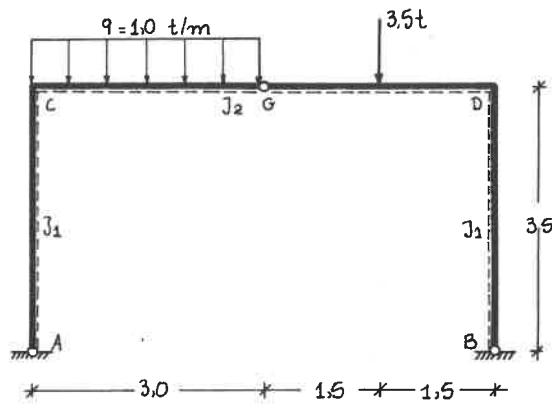
Σύγκριμα GD

$$\begin{array}{c} \text{Diagram of a beam segment from x=0 to x=2.63 with a triangular load from x=0 to x=1.50 and zero from x=1.50 to x=2.63.} \\ 2.63 \times 1.50 \times \left[4.89 \left(\frac{1}{3} \cdot (-1.50) \cdot (-4.89) \right) + 2.63 \left(\frac{1}{6} \cdot (-1.50) \cdot 2.63 \cdot \left(1 + \frac{1.5}{3.0} \right) \right) \right] = 2.63 \cdot \left[\frac{1}{3} \cdot (-1.50) \cdot (-4.89) + \frac{1}{6} \cdot (-1.50) \cdot 2.63 \cdot \left(1 + \frac{1.5}{3.0} \right) \right] = 4.38 \end{array}$$

Για να διολογισθεί τη βάση στην οποία της αρθρωτικής φορά του $\sigma_x = 6.7$, πρέπει να γνωστούμε μετά την έργωση φόρτωσης, που έναν γινώστε. Θεωρούμε μετά την έργωση φόρτωσης της ζητούμενης βάσης, που έναν το ιατωμόρικο φορτίο I_t , διαρκούμενό στην θέση i και προσδιορίσουμε τό διαγράμμα ροπών \bar{M}_{i} . Τό διδουλήριο $\int \bar{M}_{\text{i}} M_{\text{p}} ds$ δηλογίζεται μέση την βασική της τιμή σ_x .

$$\int \bar{M}_{\text{i}} M_{\text{p}} ds = \frac{3.5}{1.75} \frac{3.5}{14.29} \times \frac{2.0}{1.75} \frac{5.0}{14.29} =$$

$$= 3.0 \cdot \left(\frac{1.75 \cdot 14.29}{6 \cdot \frac{5.0}{3.0} \cdot \frac{3.5}{3.0}} \cdot \left(2 \cdot \frac{3.5}{3.0} - \left(\frac{3.5}{3.0} \right)^2 - \left(\frac{5.0}{3.0} \right)^2 \right) \right) =$$



$$\Sigma \bar{m}_{\mu a} = 6.7$$

Στώχος DB

$$= 3.5 \cdot \left[\frac{1}{3} \cdot (-1.50) \cdot (-4.89) \right] = 8.56$$

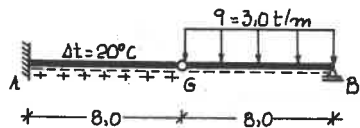
Έπειρησμένη $J_c = J_1 \sim \frac{J_c}{J_2} = 1$, $\frac{J_c}{J_2} = 0.6$, $EJ_c = 1.37 \cdot 10^4 \text{ t m}^3$

$$\bar{I} \cdot \delta_{G,P} = \frac{1}{EJ} \int \bar{M}_i i M_P ds \sim EJ \cdot \delta_{G,P} = \frac{J_c}{J_1} (8.56 + 8.56) + \frac{J_c}{J_2} \cdot (5.64 + 4.38) = 22.13 \text{ t m}^3 \sim$$

$$\sim \delta_{G,P} = 1.62 \cdot 10^{-3} \text{ m} = 1.62 \text{ mm}$$

Παραδείγμα 33: Συντείπου τη βύθιση και τη γωνία στης ακροβατίας στροφής των διατομών στην άρθρωση 6 της άρθρωσης δύοπού του σχ. 6.8.

Δινοντας: $EJ = 2.1 \cdot 10^4 \text{ t m}^3$, $a_t = 1.2 \cdot 10^{-6} \text{ grad}^{-1}$, $h = 0.40 \text{ m}$

Βύθιση UG

$$U_G = U_{G,P} + U_{G,t} \quad (1)$$

$$\bar{I} \cdot U_{G,P} = \frac{1}{EJ} \int \bar{M}_i i M_P ds \sim EJ \cdot U_{G,P} = \int \bar{M}_i i M_P ds =$$

$$= 8.0 \cdot \left[\frac{1}{3} \cdot (-8.00) \cdot (-96.00) \right] = 2048 \text{ t m}^3$$

$$EJ \cdot U_{G,P} = 2048 \sim U_{G,P} = \frac{2048}{2.1 \cdot 10^4} = 9.75 \cdot 10^{-2} \text{ m} \sim$$

$$\sim U_{G,P} = 9.75 \text{ cm} \quad (2)$$

$$\bar{I} \cdot U_{G,t} = \int \bar{M}_i i \frac{\alpha \Delta t}{h} ds \sim U_{G,t} = \frac{\alpha \Delta t}{h} \int \bar{M}_i i ds =$$

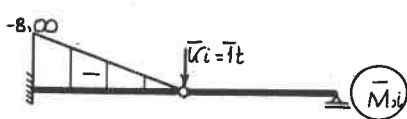
$$= \frac{1.2 \cdot 10^{-6} \cdot 20}{0.40} \cdot \left[\frac{(-8.00) \cdot 8.0}{2} \right] = -1.92 \cdot 10^{-2} \text{ m} \sim$$

$$\sim U_{G,t} = -1.92 \text{ cm} \quad (3)$$

$$(1), (2), (3) \rightarrow U_G = 9.75 - 1.92 \sim U_G = 7.83 \text{ cm}$$

Γωνία WG

$$W_G = W_{G,P} + W_{G,t} \quad (4)$$

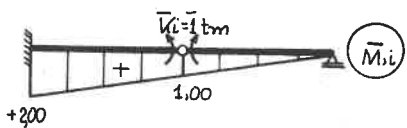
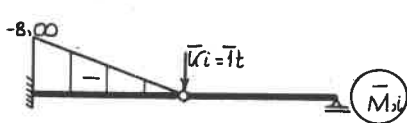


$$\bar{I} \cdot W_{G,P} = \frac{1}{EJ} \int \bar{M}_i i M_P ds \sim EJ \cdot W_{G,P} = \int \bar{M}_i i M_P ds =$$

$$= 8.0 \cdot \left[\frac{1}{6} \cdot (-96.00) \cdot (2 \cdot 2.00 + 1.00) \right] + 8.0 \cdot \left[\frac{1}{3} \cdot 1.00 \cdot 24.00 \right] = -576 \text{ t m}^2$$

$$EJ \cdot W_{G,P} = -576 \sim W_{G,P} = -\frac{576}{2.1 \cdot 10^4} \sim$$

$$\sim W_{G,P} = -0.0274 \text{ rad} \quad (5)$$



Σχήμα 6.8

$$\bar{I} \cdot \omega_{G,t} = \int \bar{M}_{i,i} \frac{\alpha_t \Delta t}{h} ds \rightarrow \omega_{G,t} = \frac{\alpha_t \Delta t}{h} \int_{AG} \bar{M}_{i,i} ds = \frac{12 \cdot 10^{-5} \cdot 20}{0,40} \cdot \left(\frac{(2,00+1,00)}{2} \cdot 8,0 \right) \rightarrow$$

$$\rightarrow \omega_{G,t} = 0,0072 \text{ rad} \quad (6)$$

$$(4), (5), (6) \rightarrow \omega_G = -0,0274 + 0,0072 \rightarrow \omega_G = -0,0202 \text{ rad.}$$

Παράδειγμα 34: Σητέων ή βύθισης με τού φορέα του σχ. 6.9 για τα διαδόμενα αύτα:

1. Διαφορά συναρμογής $\Delta\phi_g = 1^\circ$
 2. θμοιόμορφη άλλαγή θερμοκρασίας υαλί $\Delta t = 20^\circ C$ στο Ζύγωμα GB.
 3. Έποχωρηση τῆς στρίβης A υαλί $W_A = 3 \text{ cm} \downarrow$
- Δινοντα: $\alpha_t = 10^{-5} \text{ grad}^{-1}$, $h = 0,40 \text{ m}$

$$1. \Delta\phi_g = 1^\circ = 0,0175 \text{ rad}$$

$$\bar{I} \cdot U_{G,z} = \bar{M}_{S,i} \cdot \Delta\phi_g = 2,00 \cdot 0,0175 = 0,035 \text{ tm} \rightarrow$$

$$\rightarrow U_{G,z} = 3,50 \text{ cm}$$

$$2. \frac{\alpha_t \Delta t}{h} = \frac{10^{-5} \cdot 20}{0,40} = 5 \cdot 10^{-4} \text{ m}^{-1}$$

$$\bar{I} \cdot U_{G,t} = \int \bar{M}_{i,i} \frac{\alpha_t \Delta t}{h} ds = \frac{\alpha_t \Delta t}{h} \int_{GB} \bar{M}_{i,i} ds =$$

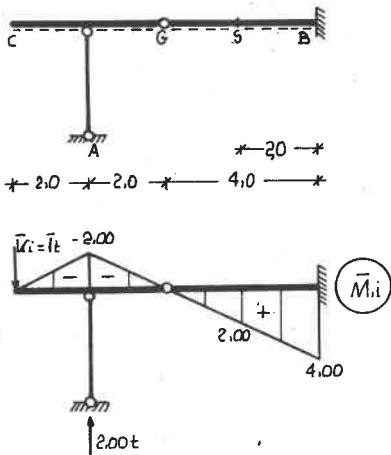
$$= 5 \cdot 10^{-4} \cdot \left[\frac{4,00 \cdot 4,0}{2} \right] = 4,00 \cdot 10^{-3} \text{ tm} \rightarrow$$

$$\rightarrow U_{G,t} = 4,00 \text{ mm}$$

$$3. \bar{C}_{A,i} = 2,00 \text{ t} \uparrow, W_A = 3 \text{ cm} \downarrow$$

$$\bar{I} \cdot U_{G,w} = \bar{C}_{A,i} \cdot W_A = 2,00 \cdot 3 = 6,00 \text{ t cm} \rightarrow$$

$$\rightarrow U_{G,w} = 6,00 \text{ cm}$$



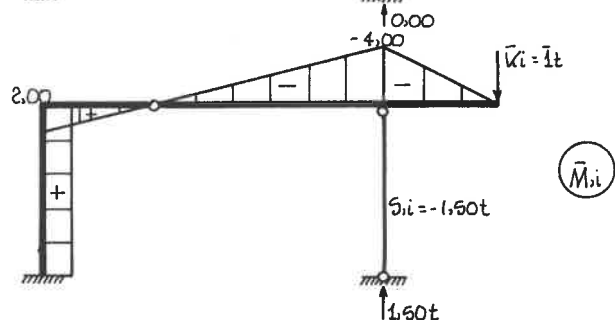
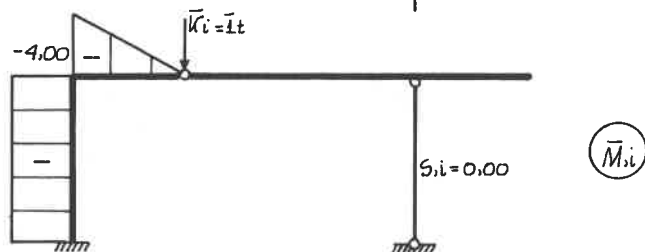
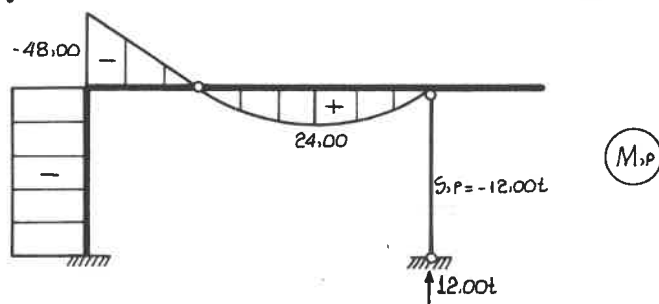
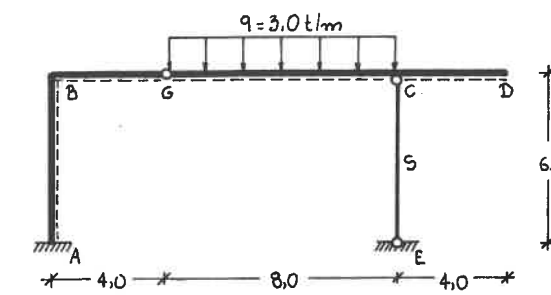
Σχήμα 6.9

Παράδειγμα 35: Σητώντας οι βυθίσεις με, με τού φορέα του σχ. 6.10 για τα διαδόμενα αύτα:

1. Εξωτερική φόρμα
2. θμοιόμορφη άλλαγή θερμοκρασίας υαλί $\Delta t = 30^\circ C$ στο Ζύγωμα GC.
3. Διαφορά συναρμογής $\Delta l = 2 \text{ cm}$ στη ράβδο
4. Έποχωρηση τῆς στρίβης E υαλί $W_E = 1 \text{ cm} \downarrow$

$$\Delta \text{vontas: } E_J = 2,1 \cdot 10^4 \text{ tm}^2, E_F = 2,1 \cdot 10^4 \text{ t}$$

$$\alpha_t = 1,2 \cdot 10^{-5} \text{ grad}^{-1}, h = 0,50 \text{ m}$$



Σχήμα 6.10

$$\frac{EJ}{E_F F_c} = \frac{21 \cdot 10^4}{2,1 \cdot 10^4} = 1,00 \text{ m}^2, \quad \frac{\Delta t}{h} = \frac{1,2 \cdot 10^{-5} \cdot 30}{0,50} = 7,2 \cdot 10^{-4} \text{ m}^{-1}$$

Búθιση Ug

1. $\bar{I} \cdot U_{G,P} = \frac{1}{EJ} \int \bar{M}_{i,i} M_{i,P} ds + \bar{s}_{i,i} s_{i,P} \frac{\ell}{E_F F_c} \rightsquigarrow EJ U_{G,P} = \int \bar{M}_{i,i} M_{i,P} ds + \frac{EJ}{E_F F_c} \bar{s}_{i,i} s_{i,P} \ell =$
 $\left[6,0 \cdot [(-4,00) \cdot (-48,00)] + 4,0 \cdot \left[\frac{1}{3} \cdot (-4,00) \cdot (-48,00) \right] \right] + 1,00 [0,00 \cdot (-12,00) \cdot 6,0] =$
 $= 1408 \text{ t m}^3 \rightsquigarrow U_{G,P} = 0,067 \text{ m} = 6,7 \text{ cm}$
2. $\bar{I} \cdot U_{G,t} = \frac{\Delta t}{h} \int \bar{M}_{i,i} ds = \emptyset$
3. $\bar{I} \cdot U_{G,z} = \bar{s}_{i,i} \cdot \Delta \ell = \emptyset$
4. $\bar{I} \cdot U_{G,W} = \bar{C}_{Ei} \cdot W_E = \emptyset$

Búθιση Ud

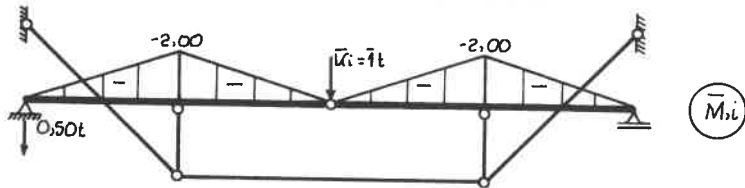
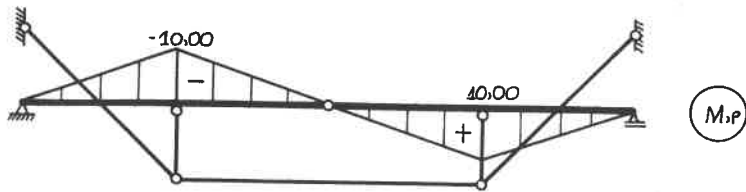
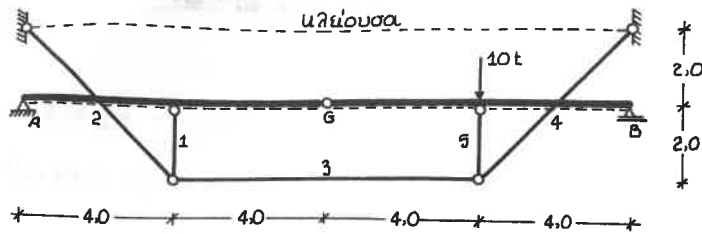
1. $EJ U_{D,P} = [6,0 \cdot 2,00 \cdot (-48,00) + 4,0 \cdot \frac{1}{3} \cdot 2,00 \cdot (-48,00) + 8,0 \cdot \frac{1}{3} \cdot (-4,00) \cdot 24,00] +$
 $+ 1,00 \cdot (-1,50) \cdot (-12,00) \cdot 6,0 = -960 + 108 \rightsquigarrow U_{D,P} = -0,046 + 0,005 = -0,041 \text{ m} = -4,1 \text{ cm}$
2. $U_{D,t} = 7,2 \cdot 10^{-4} \cdot \frac{(-4,00) \cdot 8,0}{2} = -0,012 \text{ m} = -1,2 \text{ cm}$
3. $U_{D,z} = (-1,50) \cdot 2 = -3,00 \text{ cm}$
4. $U_{D,W} = 1,50 \cdot 1 = 1,50 \text{ cm}$

Παράδειγμα 3b: Σητείται η δύθιση Ug της έντονης δουκού του G.II για τα ανόρθωτα αίτια:

1. ξέωτερη φόρτωση
2. υποχώρηση της επιφάνειας Αυατά $W_A = 2 \text{ cm} \downarrow$
3. διαφορά σωματογρής $\Delta z = -3 \text{ cm}$ επί πάθος 3.

Δινοται: $EJ = 2,1 \cdot 10^4 \text{ t m}^3$, $E_F F_c = 4,2 \cdot 10^4 \text{ t}$

1. $\bar{M}_{i,i}$ συμμετρικό, $M_{i,P}$ άνασυμμετρικό $\rightsquigarrow \int \bar{M}_{i,i} M_{i,P} ds = \emptyset \rightsquigarrow U_{G,P} = \frac{1}{E_F F_c} \sum \bar{s}_{i,i} s_{i,P} \ell_i =$
 $= \frac{178,84}{4,2 \cdot 10^4} = 0,004 \text{ m} = 4 \text{ mm}$
2. $\bar{C}_{Ei} = 0,50 \downarrow$, $W_A = 2 \text{ cm} \downarrow \rightsquigarrow U_{G,W} = -(0,50 \cdot 2) = -1,00 \text{ cm}$
3. $U_{G,z} = 1,00 \cdot (-3) = -3,00 \text{ cm}$

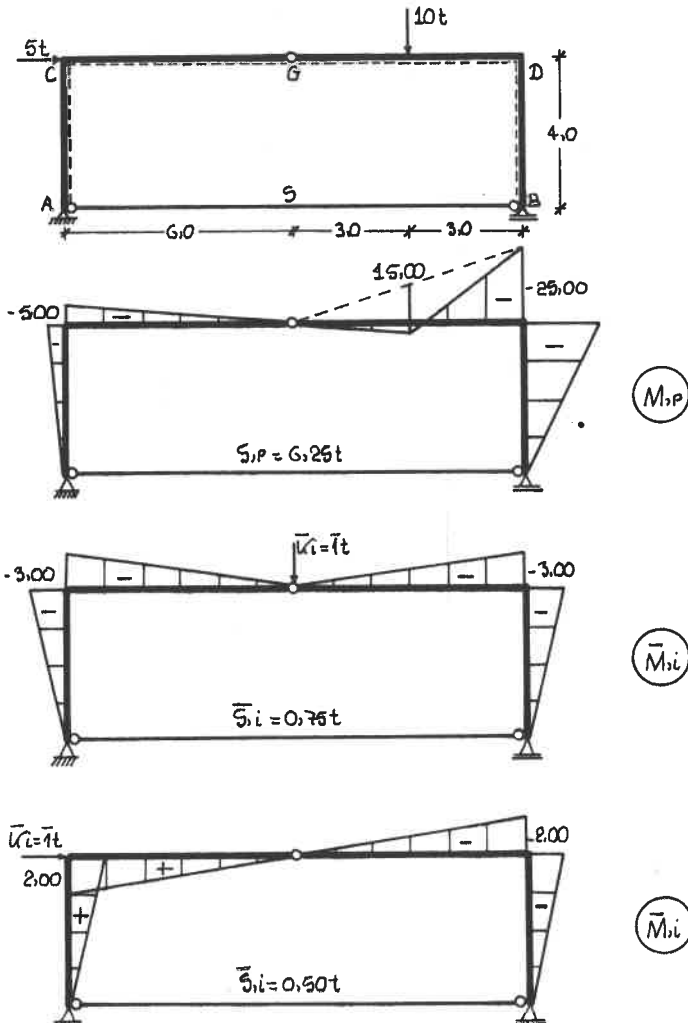


Σχήμα 6.11

ράβδος	$S_{\tau,P}$	$\bar{S}_{\tau,i}$	ℓ_{τ}	$S_{\tau,P} \cdot \bar{S}_{\tau,i} \cdot \ell_{\tau}$
1	-5,00	-1,00	2,00	10,00
2	7,07	1,41	5,66	56,42
3	5,00	1,00	8,00	40,00
4	7,07	1,41	5,66	56,42
5	-5,00	-1,00	2,00	10,00
				$\Sigma = 172,84$

Παράδειγμα 37: Σητάται η ματασέρψη μεταπίπτων της γέφυρων σε και πέρισσα της του οπηίου C του φορέα του αχ. 6.12 για τη διαδοχή ακόλουθα:

1. Εξωτερική φόρμη
 2. άμοικορρεύματα ΔL=20°C στο ζύγιο CD
 3. διαφορά συναρμογής Δl=-2cm στη ράβδο
- Δίνονται: EI = $4.7 \cdot 10^3 \text{ t m}^2$, $E_t F_t = 1.05 \cdot 10^4 \text{ t}$
- $\alpha_t = 12 \cdot 10^{-6} \text{ grad}^{-1}$, $h = 0.30 \text{ m}$



Σχήμα 6.12

$$\frac{EJ}{EzFz} = \frac{4,7 \cdot 10^3}{1,05 \cdot 10^4} = 0,45 \text{ m}^2, \quad \frac{\alpha t \Delta t}{h} = \frac{1,2 \cdot 10^{-5} \cdot 20}{0,30} = 8,00 \cdot 10^{-4} \text{ m}^{-1}$$

$$1. EJ \delta_{G,P} = [4,0 \cdot \frac{1}{3} \cdot (-3,00) \cdot (-5,00) + 6,0 \cdot \frac{1}{3} \cdot (-3,00) \cdot (-5,00) + 6,0 \cdot \left(\frac{1}{3} \cdot (-3,00) \cdot (-25,00) + \right. \\ \left. + \frac{1}{6} \cdot (-3,00) \cdot 15,00 \cdot (1 + \frac{3,0}{6,0}) \right) + 4,0 \cdot \frac{1}{3} \cdot (-3,00) \cdot (-25,00)] + 0,45 \cdot 0,75 \cdot 6,25 \cdot 12,0 =$$

$$= 232,50 + 25,31 \rightsquigarrow \delta_{G,P} = 4,95 \cdot 10^{-2} + 0,54 \cdot 10^{-2} = 5,49 \cdot 10^{-2} \text{ m} = 5,49 \text{ cm}$$

$$EJ \delta_{C,P} = [4,0 \cdot \frac{1}{3} \cdot 2,00 \cdot (-5,00) + 6,0 \cdot \frac{1}{3} \cdot 2,00 \cdot (-5,00) + 6,0 \cdot \left(\frac{1}{3} \cdot (-2,00) \cdot (-25,00) + \right. \\ \left. + \frac{1}{6} \cdot (-2,00) \cdot 15,00 \cdot (1 + \frac{3,0}{6,0}) \right) + 4,0 \cdot \frac{1}{3} \cdot (-2,00) \cdot (-25,00)] + 0,45 \cdot 0,50 \cdot 6,25 \cdot 12,0 =$$

$$= 88,33 + 16,88 \rightsquigarrow \delta_{C,P} = 4,88 \cdot 10^{-2} + 0,36 \cdot 10^{-2} = 2,24 \cdot 10^{-2} \text{ m} = 2,24 \text{ cm}$$

$$2. \delta_{G,t} = 8 \cdot 10^{-4} \cdot \left[2 \cdot \frac{(-3,00) \cdot 6,0}{2} \right] = -1,44 \cdot 10^{-2} \text{ m} = -1,44 \text{ cm}$$

$$\delta_{C,t} = \frac{\alpha t \Delta t}{h} \int_{CD} \bar{M}_{i,i} ds = \frac{\alpha t \Delta t}{h} \left[\int_{CG} \bar{M}_{i,i} ds + \int_{GD} \bar{M}_{i,i} ds \right] = \emptyset$$

$$3. \delta_{G,z} = 0,75 \cdot (-2) = -1,50 \text{ cm}$$

$$\delta_{C,z} = 0,50 \cdot (-2) = -1,00 \text{ cm}$$

Παράδειγμα 38: Ζητείται η διάθλιση της διφθρωσης γε και η γωνία της άκυρωσίας στροφής των διατομών επίν άφθρωσην του φορέα ων στ. 6.13 για τη διόρθωση α' των:

1. διμοιρδοφο φορέα $q = 2,0 \text{ t/m}$ στο Έγγυμα G1G2.
2. διμοιρδοφο φορέα $q = 2,0 \text{ t/m}$ στο Έγγυμα τα AC, DB
3. διμοιρδοφο έλλειψης θερμοκρασίας μετά $\Delta t = -15^\circ\text{C}$ στο Έγγυμα AB.
4. άλληγρη θερμοκρασίας μετά $t = 20^\circ\text{C}$ στις παθόδους

$$\text{Δύναμη: } EJ = 6,4 \cdot 10^3 \text{ t m}^2, \quad J/Fz = 0,40 \text{ m}^2$$

$$\alpha t = 1,2 \cdot 10^{-5} \text{ g rad}^{-1}, \quad h = 0,50 \text{ m}$$

$$1. EJ \underline{U}_{G2,P} = 2,0 \cdot 4,0 \cdot \frac{1}{3} \cdot (-4,00) \cdot (-16,00) + 0,40 \cdot (-2,00) \cdot (-8,00) = 170,67 + 25,60 \rightsquigarrow$$

$$\rightsquigarrow \underline{U}_{G2,P} = 2,67 \cdot 10^{-2} + 0,40 \cdot 10^{-2} = 3,07 \cdot 10^{-2} \text{ m} = 3,07 \text{ cm}$$

$$EJ \underline{w}_{G1,P} = 4,0 \cdot \frac{1}{3} \cdot 1,00 \cdot (-16,00) + 4,0 \cdot \frac{1}{2} \cdot 1,00 \cdot (-16,00) + 4,0 \cdot \frac{1}{3} \cdot 1,00 \cdot 4,00 + \\ + 0,40 \cdot 4,0 \cdot [0,75 \cdot (-8,00) + (-0,50) \cdot (-8,00)] = -48,00 - 3,20 \rightsquigarrow \underline{w}_{G1,P} = -7,50 \cdot 10^{-3} - \\ - 0,50 \cdot 10^{-3} = -8,00 \cdot 10^{-3} \text{ rad}$$

$$2. EJ \underline{U}_{G2,P} = 4,0 \cdot \frac{1}{3} \cdot (-4,00) \cdot 4,00 + 0,40 \cdot (-2,00) \cdot (-4,00) = -21,33 + 12,80 = -0,53 \cdot 10^{-2} + \\ + 0,20 \cdot 10^{-2} = -0,13 \cdot 10^{-2} \text{ m} = -1,3 \text{ mm}$$

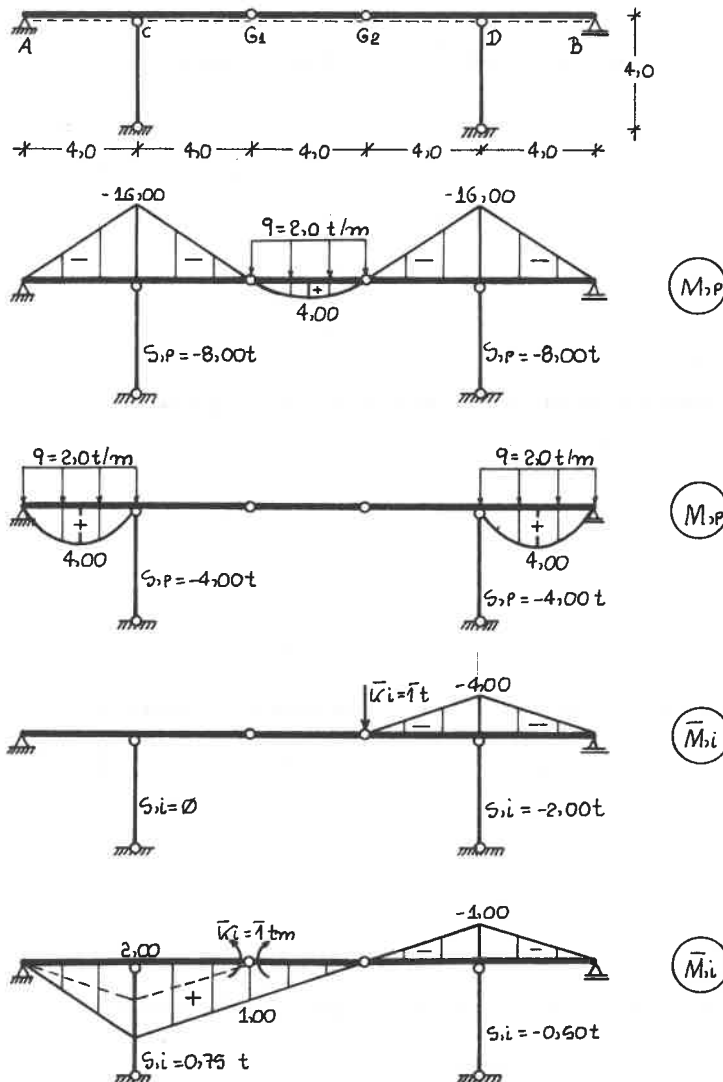
$$EJ \underline{w}_{G1,P} = 4,0 \cdot \frac{1}{3} \cdot 2,00 \cdot 4,00 + 4,0 \cdot \frac{1}{3} \cdot (-1,00) \cdot 4,00 + 0,40 \cdot 4,0 \cdot [0,75 \cdot (-4,00) + (-0,50) \cdot (-4,00)] = \\ = 5,33 - 1,60 \rightsquigarrow \underline{w}_{G1,P} = 0,83 \cdot 10^{-3} - 0,26 \cdot 10^{-3} = 0,58 \cdot 10^{-3} \text{ rad}$$

$$3. \underline{U}_{G2,t} = \frac{1,2 \cdot 10^{-5} \cdot (-15)}{0,50} \cdot \left[\frac{(-4,00) \cdot 8,0}{2} \right] = 0,68 \cdot 10^{-2} \text{ m} = 6,8 \text{ mm}$$

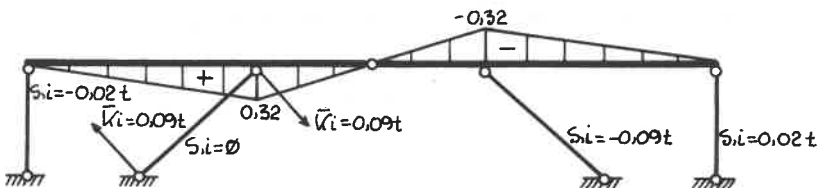
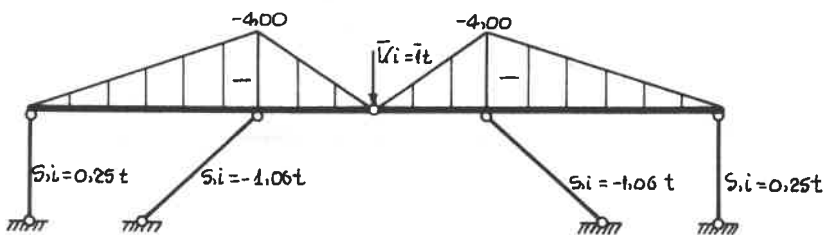
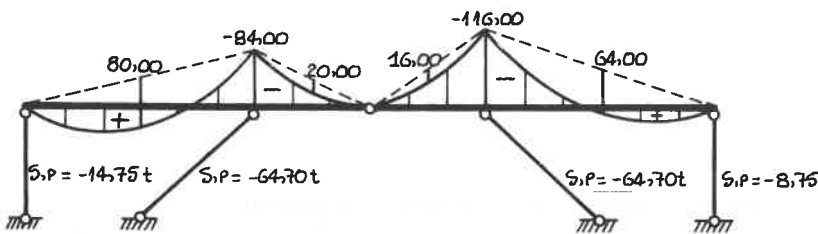
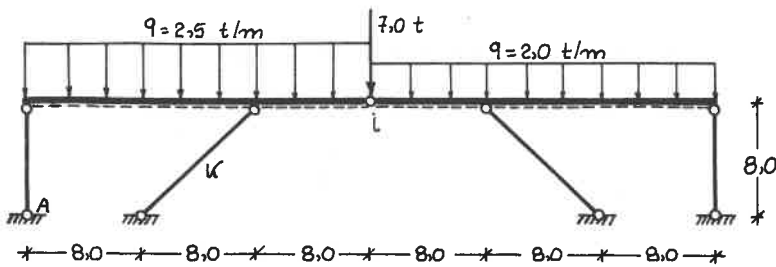
$$\underline{w}_{G1,t} = \frac{1,2 \cdot 10^{-5} \cdot (-15)}{0,50} \cdot \left[\frac{2,00 \cdot 12,0 + (-1,00) \cdot 8,0}{2} \right] = -2,88 \cdot 10^{-3} \text{ rad}$$

$$4. U_{G_2, t_2} = (-2,00) \cdot 1,2 \cdot 10^{-5} \cdot 20 \cdot 4,0 = -1,9 \cdot 10^{-3} \text{ m} = -1,9 \text{ mm}$$

$$\omega_{G_2, t_2} = 1,2 \cdot 10^{-5} \cdot 20 \cdot 4,0 (0,75 - 0,50) = 0,24 \cdot 10^{-3} \text{ rad}$$



Σκημα 6.13



Σχήμα 6.14

Παραδίγμα 39: Ζητείται η απάνθρυφη μετασίτωση των σημείων υαὶ της στροφής της ράβδου κ των φορτών σχ. 6.14 για τη άνωσηνθα αίτια:

1. Εξωτερική φόρμαση
2. διμοιόμορφη διλλαγή θερμουρασίας υαὶ $\Delta t = 35^\circ C$ στη ζύγωμα
3. άποκύρωση της στήριξης A υαὶ $W_A = 10 \text{ cm}$
4. διλλαγή θερμουρασίας υαὶ $t = 55^\circ C$ στις ράβδους
5. διαφορά συναρμογής $\Delta l = 2 \text{ cm}$ στην ράβδο κ

$$\text{Δίνονται: } EJ = 3,59 \cdot 10^4 \text{ } \text{cm}^2, \quad E_F = 3,15 \cdot 10^4 \text{ t}$$

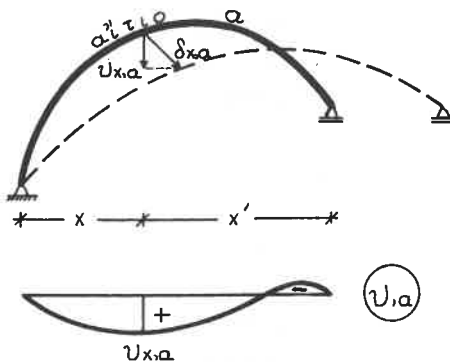
$$\alpha_t = 1,2 \cdot 10^{-5} \text{ rad}^{-1}, \quad h = 0,80 \text{ m}$$

$$\frac{EJ}{E_F} = \frac{3,59 \cdot 10^4}{3,15 \cdot 10^4} = 1,14 \text{ m}^2, \quad \frac{\alpha_t \Delta t}{h} = \frac{1,2 \cdot 10^{-5} \cdot 35}{0,80} = 5,25 \cdot 10^{-4} \text{ m}^{-1}$$

1. $EJ \text{ U}_{i,p} = 16,0 \cdot \frac{1}{3} \cdot (-4,00) \cdot (80,00 - 84,00) + 8,0 \cdot \frac{4}{3} \cdot (-4,00) \cdot (20,00 - 84,00) + 8,0 \cdot \frac{4}{3} \cdot (-4,00) \cdot (46,00 - 116,00) + 16,0 \cdot \frac{1}{3} \cdot (-4,00) \cdot (64,00 - 116,00) + 1,14 \cdot [0,25 \cdot (-14,75) \cdot 8,0 + (-1,06) \cdot (-64,70) \cdot 11,31 \cdot 2 + 0,25 \cdot (-8,75) \cdot 8,0] = 2944,00 + 1714,93 \rightsquigarrow \text{U}_{i,p} = 8,20 \cdot 10^{-2} + 4,78 \cdot 10^{-2} = 12,98 \cdot 10^{-2} \text{ m} = 12,98 \text{ cm}$
 $EJ \text{ w}_{k,p} = 16,0 \cdot \frac{1}{3} \cdot 0,32 \cdot (80,00 - 84,00) + 8,0 \cdot \frac{4}{3} \cdot 0,32 \cdot (20,00 - 84,00) + 8,0 \cdot \frac{4}{3} \cdot (-0,32) \cdot (46,00 - 116,00) + 16,0 \cdot \frac{1}{3} \cdot (-0,32) \cdot (64,00 - 116,00) + 1,14 \cdot [(-0,02) \cdot (-14,75) \cdot 8,0 + (-0,09) \cdot (-64,70) \cdot 11,31 + 0,02 \cdot (-8,75) \cdot 8,0] = 112,64 + 76,17 \rightsquigarrow \text{w}_{k,p} = 0,31 \cdot 10^{-2} + 0,21 \cdot 10^{-2} = 0,52 \cdot 10^{-2} \text{ rad}$
 $\text{w}_{k,t} = 5,25 \cdot 10^{-4} \cdot [2 \cdot \frac{(-4,00) \cdot 24,0}{2}] = -5,04 \cdot 10^{-2} \text{ m} = -5,04 \text{ cm}$
 $\text{w}_{k,t} = \emptyset \quad (\text{το διάγραμμα ήτι δίνει αντισυμμετρικό})$
3. $\text{U}_{i,w} = -(0,25 \cdot 10) = -2,50 \text{ cm}$
 $\text{w}_{k,w} = 0,02 \cdot (10 \cdot 10^{-2}) = 0,20 \cdot 10^{-2} \text{ rad}$
4. $\text{U}_{i,tz} = 1,2 \cdot 10^{-5} \cdot 55 \cdot [0,25 \cdot 8,0 \cdot 2 + (-1,06) \cdot 11,31 \cdot 2] = -1,32 \cdot 10^{-2} \text{ m} = -1,32 \text{ cm}$
 $\text{w}_{k,tz} = 1,2 \cdot 10^{-5} \cdot 55 \cdot [(-0,02) \cdot 8,0 + (-0,09) \cdot 11,31 + 0,02 \cdot 8,0] = -0,07 \cdot 10^{-2} \text{ rad}$
5. $\text{U}_{i,z} = (-1,06) \cdot 2 = -2,12 \text{ cm}$
 $\text{w}_{k,z} = \emptyset \quad (\text{στοι} \emptyset)$

7. Η ΕΛΑΣΤΙΚΗ ΓΡΑΜΜΗ

7.1 Τα έλαστικά φορτία



Σχήμα 7.1

W.a. Τότε η μέν γραμμή των τεμνουσών δυνάμεων $Q(W.a)$ έκει σε κάθε σημείο πεταγμένη με τη γωνία αθλευσης φ.a της έλαστικής γραμμής W.a, η δέ γραμμή των ροπών αθμύων $M(W.a)$ συμπίπτει με τη ζητούμενη έλαστική γραμμή W.a, δηλαδή:

$$Q_a = Q(W.a), \quad u_a = M(W.a) \quad (7.1.1)$$

Στον τίτλο 7.I δίνονται τα έλαστικά φορτία για διάφορες περιπτώσεις του αλτίου

Έλαστικά φορτία Ισοστατικών φορέων

1. Έξωτερης φόρουσον (P)



$$W, p = \frac{M_b p}{EJ}$$

2. Αλλαγής όρφουρασίας (Δt)



$$W, \Delta t = \frac{\Delta t \Delta t}{h}$$

3. Διαφορές συναρμογής
a. εφήνα ($\Delta \Phi_s$)



$$W, \Delta \Phi_s = \Delta \Phi_s$$

b. άλμα (Δh_s)



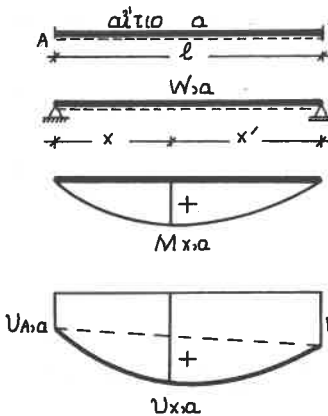
$$W, \Delta h_s = \Delta h_s$$

4. Υποχώρησης στηρίζεως (W)



$$W, w = \emptyset$$

Τίτλος 7.I



Σχήμα 7.2

Αν σι μία δομή που άντυε σε ένα όποιο διπότε φρέσκα μία γωνίας οι βαθίσεις υπάρχουν $W_{x,a}$ στα άκρα ένας τριγώνας της AB μήκους l τοπει $\frac{l}{2}$ λαβευτή γραμμή υλοποιώντας την τριγώνα που έφερε στην αλιάσμα (εύθεια γραμμή που έφερε ένα στα άκρα του διαστήματος l τετραγωνικές $U_{x,a}$ και $U_{B,a}$) σχεδιασθείμε την λαβευτή γραμμή της ύπουλατά στα τέλη αφέρετης δομού δηλαδή το διάγραμμα των ροπών αέρας της $M(W_{x,a})$:

$$U_{x,a} = U_{A,a} \frac{x}{l} + U_{B,a} \frac{x}{l} + M_{x,a} \sim$$

$$\begin{aligned} U_{x,a} &= U_{A,a} \bar{z}' + U_{B,a} \bar{z} + U_{M,a} \\ \bar{z} &= \frac{x}{l}, \quad \bar{z}' = \frac{x}{l} \end{aligned} \quad (7.1.2)$$

Εδώδικα για την έξιατερων φόρμαση ζητούμε:

$$W_{x,p} = \frac{M_{x,p}}{EI} = - \frac{d^2 M(W_{x,p})}{dx^2} = - \frac{d^2 U_{x,p}}{dx^2} \sim$$

$$\frac{d^2 U_{x,p}}{dx^2} = - \frac{M_{x,p}}{EI} \quad (7.1.3)$$

Αυτή την 7.1.3 συμπεραίνουμε ότι:

1. Όπου $M_{x,p} = 0$, ή έλαστη γραμμή $U_{x,p}$ θά παρουσιάζει σημεία καμπύλης.
2. Όπου $M_{x,p} < 0$, ή έλαστη γραμμή $U_{x,p}$ θά επρέψεται μοίλα προς τα αντίτρια [↗].
3. Όπου $M_{x,p} > 0$, ή έλαστη γραμμή $U_{x,p}$ θά επρέψεται μοίλα προς τα πανώ [↙].

7.2 Οι συναρτήσεις w .

Ο υπολογισμός των τεταγμένων της έλαστης γραμμής $U_{x,p}$ αμφιέρεται δομού, που το διάγραμμα των ροπών αέρας της $M_{x,p}$ είναι δρομογόνος, τριγωνικός, παραβολικός ή διλλούμενος σχήματος μπορεί να γίνει με τη βοήθεια την συναρτήσεων w .

Γενικά ένα όποιοδήποτε διάγραμμα ροπών αέρας μπορεί να γίνει με μέγιστη τεταγμένη Μδίνη βαθίσεων $U_{M,a}$, που ύπολογίζονται βάσει των τύπων: $U_{M,a} = \frac{\ell^2 M}{EI} w \quad (7.2.1)$

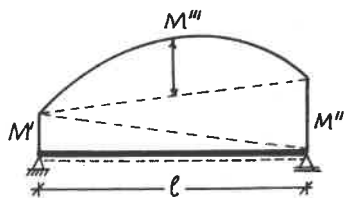
Όπου w ένας επαρκές συντελεστής που έχειται μόνον από την μορφή των διαγράμματος των ροπών αέρας. Ο διάλιτος w έναι μία συνθετική του δύοντος x/l που έχειται και αντί καθόλου από την μορφή των διαγράμματος των ροπών αέρας.

Στόν πίνακα 7. II δίνεται η έξισωση της έλαστης γραμμής $U_{M,a}$ μεριέρεται δομού για διάφορες μορφές των διαγράμματος των ροπών αέρας $M_{x,p}$.

Με τη βοήθεια των πίνακα 7. II και της άρχης της έπαλητης μηρούν να διτιμετωπιστούν και πώς σύνθετες περιπτώσεις. Το διάλυμα παραβολικό π.χ. διάγραμμα ροπών αέρας των σχημάτων 7.3 αναλύεται στ δύο τριγωνικά και στη συμμετρικό

<p>$\xi = \frac{x}{l}$, $\xi' = \frac{x'}{l}$</p>	<p>M</p>	<p>M</p>	<p>M</p>
	$U_{1,M} = \frac{\ell^2 M}{2EJ} w_R$	$U_{1,M} = \frac{\ell^2 M}{6EJ} w_D$	$U_{1,M} = \frac{\ell^2 M}{3EJ} w_{P1}$
	$w_R = \xi - \xi^2$	$w_D = \xi - \xi^3$	$w_{P1} = \xi - \xi^3$
	<p>M</p>	<p>παραβολή του βαθμού</p>	<p>παραβολή του βαθμού</p>
$U_{1,M} = \frac{\ell^2 M}{12EJ} w_A$	$U_{1,M} = \frac{\ell^2 M}{6EJ} w_T$	$U_{1,M} = \frac{\ell^2 M}{3EJ} w_{P2}$	$U_{1,M} = \frac{\ell^2 M}{12EJ} w_{P2}$
$w_A = 3\xi - 4\xi^3$	$w_T = \xi - 3\xi^2 + 2\xi^3$	$w_{P2} = \xi - 2\xi^3 + \xi^4$	$w_{P2} = \xi - \xi^4$

Πίνακας 7. II



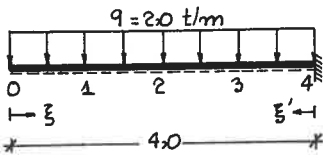
παραβολή δύτε πάξιμων της έλαστων γραμμής
λαμβάνει τη μορφή:

$$U_{1,M} = \frac{\ell^2 M'}{6EJ} w'_D + \frac{\ell^2 M''}{6EJ} w_D + \frac{\ell^2 M'''}{3EJ} w_{P1} \sim \\ \sim U_{1,M} = \frac{\ell^2}{6EJ} (M' w'_D + M'' w_D + 2M''' w_{P1})$$

Σχήμα 7.3

Παράδειγμα 40: Συτίσται η έλαστων γραμμή $U_{1,P}$ του προβόλου του σχ. 7.4
Δίνεται: $EJ = 5,42 \cdot 10^3 \text{ t m}^2$

- Σχεδιάζουμε τό διάγραμμα των ροτών υδρίτης $M_{1,P}$.
- Υπολογίζουμε τέσσερις στά καραμπριώτισα σημεία 0 και 4.
 $EJ U_{0,P} = 4,0 \cdot \frac{1}{4} \cdot (-4,00) \cdot (-16,00) = 64,00 \text{ t m}^3 \sim U_{0,P} = 1,18 \cdot 10^{-2} \text{ m} = 1,18 \text{ cm}$
 $U_{4,P} = \emptyset$
- Με τέσσερις $U_{0,P}$ και $U_{4,P}$ υιδρίτης τα απορίδες της αλείσινα της έλαστων γραμμής υρπου' έμφασιδει τετραγένεις $U_{0,P}' + U_{4,P}$ είναι περιοχή $0 \div 4$. Σε αυτές πρέπει να προ-

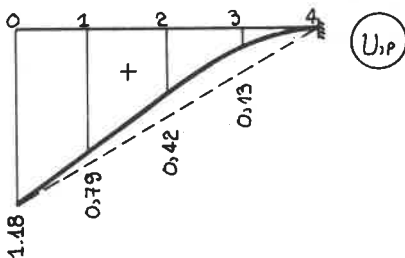
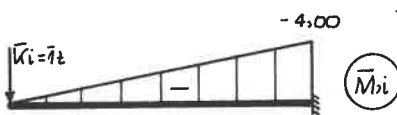


ετείσδεν ωσι οι τεταγμένες των ροπών και μυγμάτων
ή που απάντασις αμφίτερη είναι που φορτί δεται με
το έλαστικό φορτίο $W_P = \frac{M_P}{EJ}$

$$U_{i,P} = U_{0,P}\xi' + U_{4,P}\xi + U_{M} = 1,18 \cdot 10^{-2} \cdot \xi' + 0 \cdot \xi + \\ + \frac{(4,0^2) \cdot (-16,00)}{12 \cdot (5,42 \cdot 10^3)} \cdot W_P \sim U_{i,P} = 1,18 \xi' - 0,39 \cdot W_P$$

(cm)

Οι περαιτέρω ηπολογισμοί γίνονται στον τύπωμα 40.1



Σχήμα 7.4

i	ξ	ξ'	$1,18 \cdot \xi'$	W_P	$0,39 \cdot W_P$	$U_{i,P} (\text{cm})$
0	0	1,00	1,18	0	0	1,18
1	0,25	0,75	0,89	0,25	0,10	0,79
2	0,50	0,50	0,69	0,44	0,17	0,42
3	0,75	0,25	0,30	0,43	0,17	0,13
4	1,00	0	0	0	0	0

Τύπωμα 40.1

Παραδείγμα 41: Σητεί τα έλαστική γραμμή W_P της μονοτροχικούς δοκού του
εκ. 7.5. Δίνεται: $EJ = 3,59 \cdot 10^4 \text{ t m}^2$

$$U_{0,P} = U_{5,P} = 0$$

$$EJ U_{9,P} = 22,0 \cdot \frac{(-8,00) \cdot (-8,00)}{6 \cdot 0,36 \cdot 0,64} [2 \cdot 0,64 - 0,64^2 - 0,64^2] = 469,33 \text{ t m}^3 \sim$$

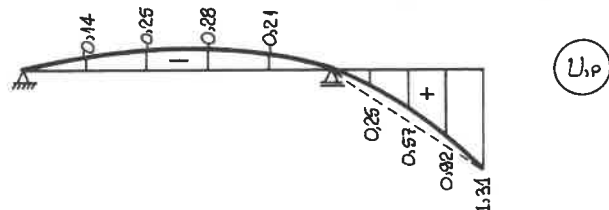
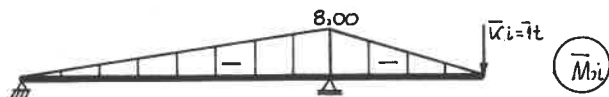
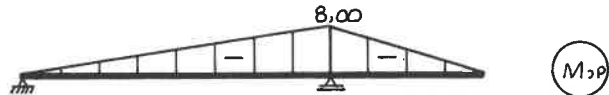
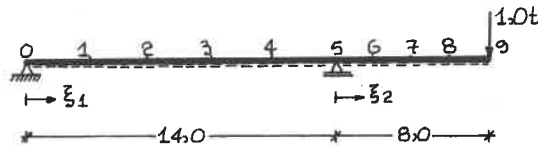
$$\sim U_{9,P} = 1,31 \cdot 10^{-2} \text{ m} = 1,31 \text{ cm}$$

Stepio xmi 0÷5

$$U_p = U_{0,p} \xi_1' + U_{5,p} \xi_1 + U_{M,p} = \frac{(14,0^2) \cdot (-8,00)}{6 \cdot 3,59 \cdot 10^4} \cdot w_D \rightarrow U_{5,p} = -0,73 \cdot w_D \text{ (cm)}$$

Stepio xmi 5÷9

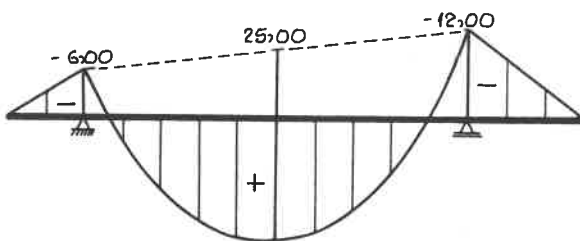
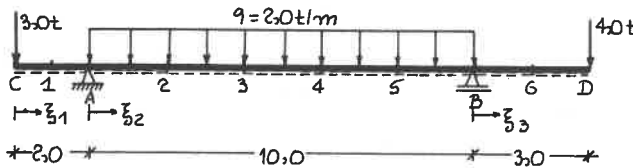
$$U_p = U_{5,p} \xi_2' + U_{9,p} \xi_2 + U_{M,p} = 1,31 \cdot 10^{-2} \cdot \xi_2 + \frac{(8,0^2) \cdot (-8,00)}{6 \cdot 3,59 \cdot 10^4} \cdot w_D \rightarrow \\ \rightarrow U_{9,p} = 1,31 \cdot \xi_2 - 0,24 \cdot w_D \text{ (cm)}$$

 $\Sigma \bar{x}_i h_i = 7,5$

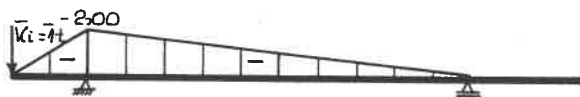
i	ξ_1	ξ_1'	$1,31 \cdot \xi_2$	w_D	$-0,73 \cdot w_D$	U_{ip} (cm)
0	0	1,00	-	0	0	0
1	0,20	0,80	-	0,19	-0,14	-0,14
2	0,40	0,60	-	0,34	-0,25	-0,25
3	0,60	0,40	-	0,38	-0,28	-0,28
4	0,80	0,20	-	0,29	-0,21	-0,21
5	1,00	0	0	0	0	0
i	ξ_2	ξ_2'	$1,31 \cdot \xi_2$	w_D	$-0,24 \cdot w_D$	U_{ip} (cm)
6	0,25	0,75	0,33	0,33	-0,08	0,25
7	0,50	0,50	0,66	0,38	-0,09	0,57
8	0,75	0,25	0,98	0,23	-0,06	0,92
9	1,00	0	1,31	0	0	1,31

Ilavaus 41.1

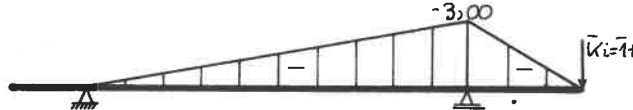
Παράδειγμα 42: Συντάσμα γέλαστης γραμμής υπό την αίματη προέκυψας δύναμη του σχ. 7.6. Δίνεται: $EJ = 5,42 \cdot 10^3 \text{ t m}^2$



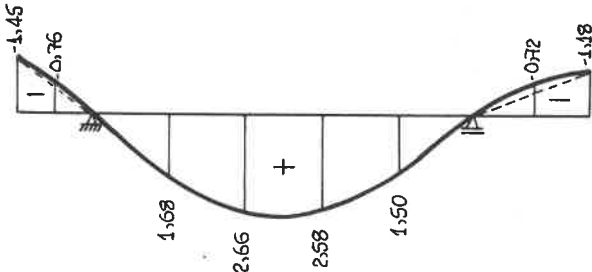
M_p



\bar{M}_{bi}



\bar{M}_{bi}



$U_{A,p}$

Συμπ. 7.6

$$U_{A,p} = U_{B,p} = 0$$

$$EJ U_{C,p} = 2.0 \cdot \frac{1}{3} \cdot (-2.00) \cdot (-6.00) + 10.0 \cdot \left(\frac{1}{6} \cdot (-2.00) (2 \cdot (-6.00) + (-12.00)) + \frac{1}{3} \cdot (-2.00) \cdot 25.00 \right) = -78.67 \text{ t m}^3 \rightarrow U_{C,p} = -1.45 \cdot 10^{-2} \text{ m} = -1.45 \text{ cm}$$

$$EJ U_{D,p} = 10.0 \cdot \left[\frac{1}{6} \cdot (-3.00) \cdot [(-6.00) + 2 \cdot (-12.00)] + \frac{1}{3} \cdot (-3.00) \cdot 25.00 \right] + 3.0 \cdot \frac{1}{3} \cdot (-3.00) \cdot (-12.00) = -64.00 \text{ t m}^3 \rightarrow U_{D,p} = -1.18 \cdot 10^{-2} \text{ m} = -1.18 \text{ cm}$$

Περιοχή C ÷ A

$$U_{i,p} = -1,45 \cdot 10^{-2} \cdot \xi_1' + \frac{(20^2) \cdot (-6,00)}{6 \cdot 5,42 \cdot 10^3} \cdot w_D \rightarrow U_{i,p} = -1,45 \cdot \xi_1' - 0,07 \cdot w_D \text{ (cm)}$$

Περιοχή A ÷ B

$$U_{i,p} = \frac{10,0^2}{6 \cdot 5,42 \cdot 10^3} [(-6,00) \cdot w_D + (-12,00) \cdot w_D + 2 \cdot 25,00 \cdot w_{P1}] \rightarrow$$

$$\rightarrow U_{i,p} = -1,85 \cdot w_D - 3,69 \cdot w_D + 15,38 \cdot w_{P1} \text{ (cm)}$$

Περιοχή B ÷ D

$$U_{i,p} = -1,18 \cdot 10^{-2} \cdot \xi_3' + \frac{(30^2) \cdot (-12,00)}{6 \cdot 5,42 \cdot 10^3} \cdot w_D \rightarrow U_{i,p} = -1,18 \cdot \xi_3' - 0,33 \cdot w_D \text{ (cm)}$$

i	ξ_1	ξ_1'	$-1,45 \cdot \xi_1'$	w_D	$-0,07 \cdot w_D$	$U_{i,p}$ (cm)
C	0	4,00	-1,45	0	0	-1,45
1	0,50	0,50	-0,73	0,38	-0,03	-0,76
A	1,00	0	0	0	0	0

i	ξ_2	ξ_2'	w_D	$-1,85 \cdot w_D$	w_D	$-3,69 \cdot w_D$	w_{P1}	$15,38 \cdot w_{P1}$	$U_{i,p}$ (cm)
2	0,20	0,80	0,29	-0,54	0,19	-0,70	0,19	2,92	1,68
3	0,40	0,60	0,38	-0,70	0,34	-1,25	0,30	4,61	2,66
4	0,60	0,40	0,34	-0,63	0,38	-1,40	0,30	4,61	2,58
5	0,80	0,20	0,19	-0,35	0,29	-1,07	0,19	2,92	1,50
B	1,00	0	0	0	0	0	0	0	0

i	ξ_3	ξ_3'	$-1,18 \cdot \xi_3'$	w_D	$-0,33 \cdot w_D$	$U_{i,p}$ (cm)
6	0,50	0,50	-0,59	0,38	-0,13	-0,72
D	1,00	0	-1,18	0	0	-1,18

Τίτλος 42.1

Παράδειγμα 43: Σημείωση ή έλαστη γραφή της διαδρωτής δομής των ex. 7.7

για διαιώνιμη αλλαγή θερμοκρασίας και $\Delta t = 20^\circ\text{C}$.

Διανομή: $a_t = 10^{-6} \text{ grad}^{-1}$, $h = 0,80\text{m}$

1. Υπολογίζουμε τις δυθίσεις στα χαρακτηριστικά σημεία A, B, G και C
2. Υπολογίζουμε το έλαστο φορτίο $W_{i,t}$: $W_{i,t} = \frac{a_t \Delta t}{h}$ (A ÷ C)
3. Σχεδιάζουμε το διάγραμμα των ροπών και μηδών $M(W_{i,t})$ στις υδωνοπατίστες άμμης δομών AB, BG και GC. Οι τεταγμένες των διαγράμμων $M(W_{i,t})$ οποιοί λογιζούνται από την ώρα: $M(W_{i,t}) = U_{i,M} = \frac{\epsilon^2}{2} \cdot W_{i,t} \cdot W_R \rightarrow W_R = \xi - \xi^2$

όπου το μήκος της ύπουλατάστατης άμφιερευστης δουσι.

4. Η έλαστη γραμμή θέτει πάνω στην από τη γραμμή AB, BG και GC σχεδόν μείον με διετρία την απόσταση της διαγραμμής των ροτών αύξυντας την άντιστροφής ύπουλατάστατης άμφιερευστης δουσι.

$$\frac{\Delta t \Delta t}{h} = \frac{10^{-6} \cdot 20}{0.80} = 2.5 \cdot 10^{-4} \text{ m}^{-1}$$

$$U_{A,t} = U_{B,t} = U_{G,t} = 0$$

$$U_{G,t} = 2.5 \cdot 10^{-4} \cdot \left(\frac{(-4,00) \cdot 100}{2} \right) \sim U_{G,t} = -5,0 \cdot 10^{-3} \text{ m} = -5,0 \text{ mm}$$

$$W_{t,t} = \frac{\Delta t \Delta t}{h} = 2.5 \cdot 10^{-4} \text{ m}^{-1}$$

Περιοχή A-B

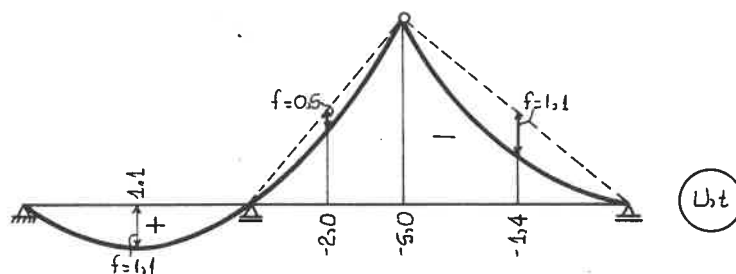
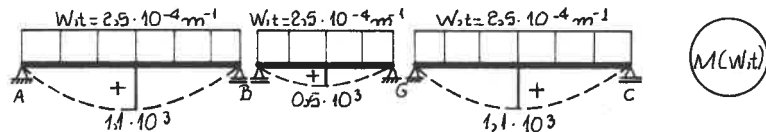
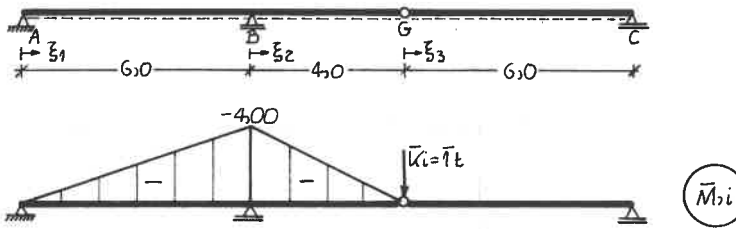
$$U_{t,t} = \frac{6,0^2}{2} \cdot 2,5 \cdot 10^{-4} \cdot W_{t,t} \sim U_{t,t} = 45 \cdot W_{t,t} \text{ (mm)}$$

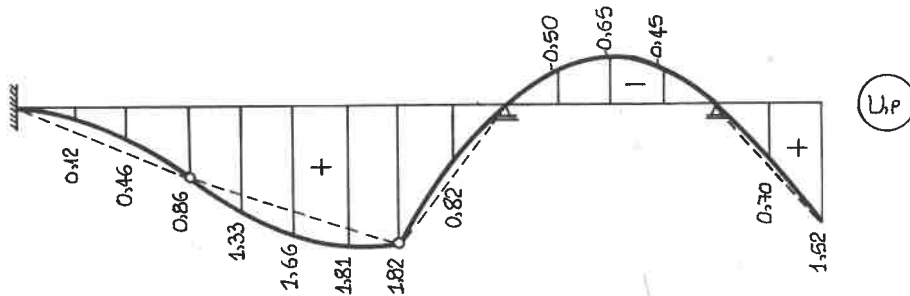
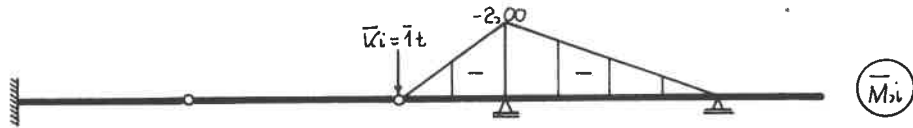
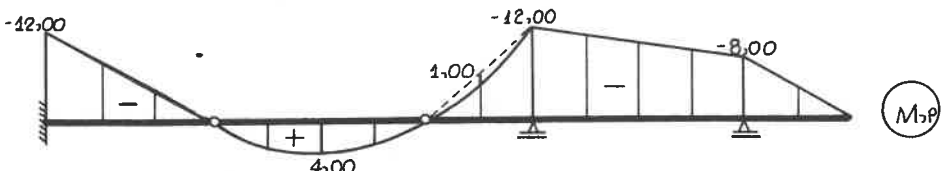
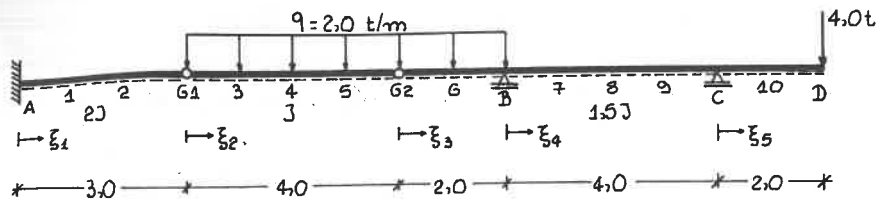
Περιοχή B-G

$$U_{t,t} = -5,0 \cdot 10^{-3} \cdot \xi_2 + \frac{4,0^2}{2} \cdot 2,5 \cdot 10^{-4} \cdot W_{t,t} \sim U_{t,t} = -5,0 \xi_2 + 2,0 \cdot W_{t,t} \text{ (mm)}$$

Περιοχή G-C

$$U_{t,t} = -5,0 \cdot 10^{-3} \cdot \xi_3 + \frac{6,0^2}{2} \cdot 2,5 \cdot 10^{-4} \cdot W_{t,t} \sim U_{t,t} = -5,0 \xi_3 + 4,5 \cdot W_{t,t} \text{ (mm)}$$





$\Sigma M_{i,P} = 7.8$

Παράδειγμα 44: Συντεταγμένη γραμμή Υποτής ζερόωσης δουκού του σχ. 7.8
Δίνεται: $E = 2100 \text{ t/m}^2$.

$$E \cdot U_{G1,P} = \frac{1}{2} \cdot 3,0 \cdot \frac{1}{3} \cdot (-3,00) \cdot (-12,00) = 18,00 \text{ t m}^3 \rightarrow U_{G1,P} = 0,86 \cdot 10^{-2} \text{ m} = 0,86 \text{ cm}$$

$$E \cdot U_{G2,P} = \frac{1}{1,5} \cdot \left[2,0 \cdot \left[\frac{1}{3} \cdot (-2,00) \cdot (-12,00) + \frac{1}{3} \cdot (-2,00) \cdot 1,00 \right] + \right. \\ \left. + 4,0 \cdot \frac{1}{6} \cdot (-2,00) \cdot (2 \cdot (-12,00) + (-8,00)) \right] = 38,22 \text{ t m}^3 \rightarrow U_{G2,P} = 1,82 \cdot 10^{-2} \text{ m} = 1,82 \text{ cm}$$

$$E \cdot U_{D,P} = \frac{1}{1,5} \cdot \left[4,0 \cdot \frac{1}{6} \cdot (-2,00) \cdot [(-12,00) + 2 \cdot (-8,00)] + 2,0 \cdot \frac{1}{3} \cdot (-2,00) \cdot (-8,00) \right] = \\ = 32,00 \text{ t m}^3 \rightarrow U_{D,P} = 1,52 \cdot 10^{-2} \text{ m} = 1,52 \text{ cm}$$

$$U_{A,P} = U_{B,P} = U_{C,P} = \emptyset$$

Περιοχή A $\div G_1$

$$U_{P} = 0,86 \cdot 10^{-2} \cdot \xi_1 + \frac{(3,0^2) \cdot (-12,00)}{6 \cdot (2100 \cdot 2)} \cdot w_D \rightarrow U_{P} = 0,86 \cdot \xi_1 - 0,43 \cdot w_D \text{ (cm)}$$

Περιοχή G₁ $\div G_2$

$$U_{P} = 0,86 \cdot 10^{-2} \cdot \xi'_1 + 1,82 \cdot 10^{-2} \cdot \xi_2 + \frac{(4,0^2) \cdot 4,00}{3 \cdot (2100 \cdot 1)} \cdot w_{P1} \rightarrow$$

$$\rightarrow U_{P} = 0,86 \cdot \xi'_1 + 1,82 \cdot \xi_2 + 1,02 \cdot w_{P1} \text{ (cm)}$$

Περιοχή G₂ $\div B$

$$U_{P} = 1,82 \cdot 10^{-2} \cdot \xi'_2 + \frac{2,0^2}{6 \cdot (2100 \cdot 1,5)} \cdot [(-12,00) \cdot w_D + 2 \cdot 1,00 \cdot w_{P1}] \rightarrow$$

$$\rightarrow U_{P} = 1,82 \cdot \xi'_2 - 0,25 \cdot w_D + 0,04 \cdot w_{P1} \text{ (cm)}$$

Περιοχή B $\div C$

$$U_{P} = \frac{4,0^2}{6 \cdot (2100 \cdot 1,5)} \cdot [(-12,00) \cdot w_D + (-8,00) \cdot w_D] \rightarrow$$

$$\rightarrow U_{P} = -1,02 \cdot w_D - 0,68 \cdot w_D \text{ (cm)}$$

Περιοχή C $\div D$

$$U_{P} = 1,52 \cdot 10^{-2} \cdot \xi_5 + \frac{(2,0^2) \cdot (-8,00)}{6 \cdot (2100 \cdot 1,5)} \cdot w_D \rightarrow U_{P} = 1,52 \cdot \xi_5 - 0,17 \cdot w_D \text{ (cm)}$$

i	ξ_1	ξ'_1	$0,86 \cdot \xi_1$	w _D	$-0,43 \cdot w_D$	U_{P} (cm)
A	0	1,00	0	0	0	0
1	0,33	0,67	0,28	0,37	-0,16	0,12
2	0,67	0,33	0,58	0,29	-0,12	0,46
G ₁	1,00	0	0,86	0	0	0,86

i	ξ_2	ξ'_2	$0,86 \cdot \xi'_2$	$1,82 \cdot \xi_2$	w_{P1}	$1,02 \cdot w_D$	$U_{i,p} \text{ (cm)}$
3	0,26	0,76	0,65	0,46	0,22	0,22	1,33
4	0,50	0,50	0,43	0,91	0,31	0,32	1,66
5	0,75	0,25	0,22	1,37	0,22	0,22	1,81
G ₂	1,00	0	0	1,82	0	0	1,82

i	ξ_3	ξ'_3	$1,82 \cdot \xi'_3$	w_D	$-0,25 \cdot w_D$	w_{P1}	$0,04 \cdot w_{P1}$	$U_{i,p} \text{ (cm)}$
G	0,50	0,50	0,91	0,38	-0,10	0,31	0,01	0,82
B	1,00	0	0	0	0	0	0	0

i	ξ_4	ξ'_4	w_D	$-1,02 \cdot w_D$	w_D	$-0,68 \cdot w_D$	$U_{i,p} \text{ (cm)}$
7	0,25	0,75	0,33	-0,34	0,23	-0,16	-0,50
8	0,50	0,50	0,38	-0,39	0,38	-0,26	-0,65
9	0,75	0,25	0,23	-0,23	0,33	-0,22	-0,45
C	1,00	0	0	0	0	0	0

i	ξ_5	ξ'_5	$1,52 \cdot \xi'_5$	w_D	$-0,17 \cdot w_D$	$U_{i,p} \text{ (cm)}$
10	0,50	0,50	0,76	0,38	-0,06	0,70
D	1,00	0	1,52	0	0	1,52

Τίτλος 44.1

Παράδειγμα 45: Σημείωση έλαστων γραμμών του φορέα του ex. 7.9 για την διαφορά συναρμογής $\Delta l = -2 \text{ cm}$ από τη δύση K.

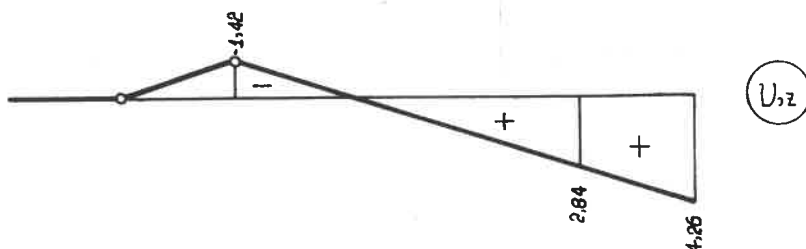
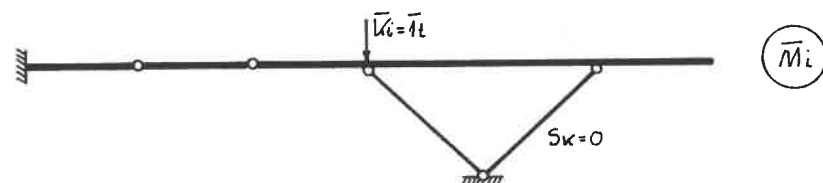
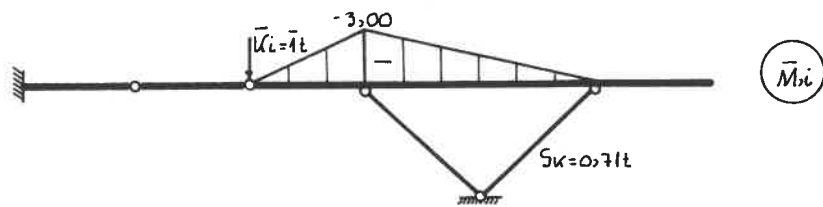
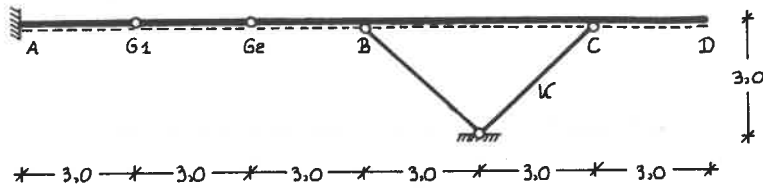
Έπειδη με τήν υαλίνην τήν δύση διέθεσε προσάπτα ένα μονούτιτο σύστημα, γίνεται διαφορά συναρμογής Δl την προσαρτήσεις επιρριζόμενες δομών G₁G₂ και G₂D μένο στραγγί ένω δέν έχει μακριά έπιπλον ένη στριβίδωνα AG₁ ($U_{A,z} = U_{G_1,z} = 0$). Συνεπώς η έλαστων γραμμή U_{z} έναι μία πολυγωνική γραμμή που προσδιορίζεται από την διάθεση της διεργάστιας G₂ και ένας σημείου, π.χ. του B, της δομής G₂D.

$$U_{G_2,z} = 0,71 \cdot (-2) = -1,42 \text{ cm}$$

$$U_{D,z} = 0$$

$$\frac{U_{C,z}}{U_{G_2,z}} = \frac{6,0}{3,0} \rightsquigarrow U_{C,z} = 2,84 \text{ cm}$$

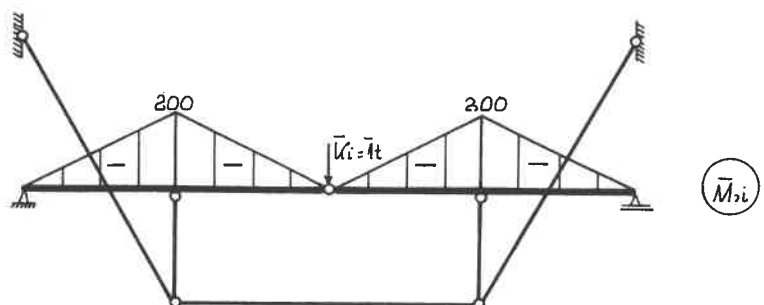
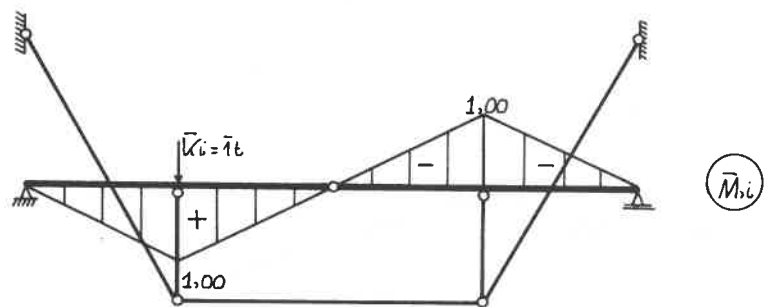
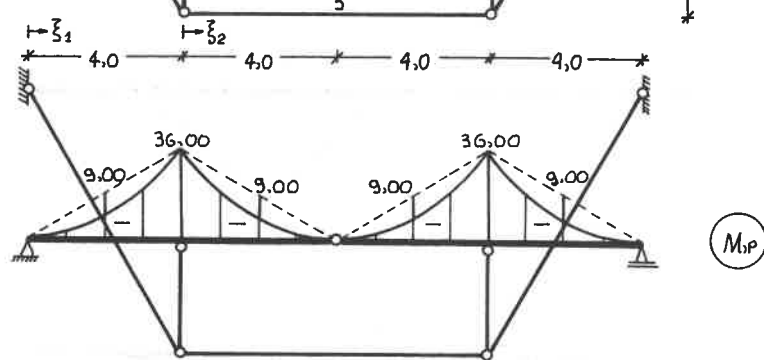
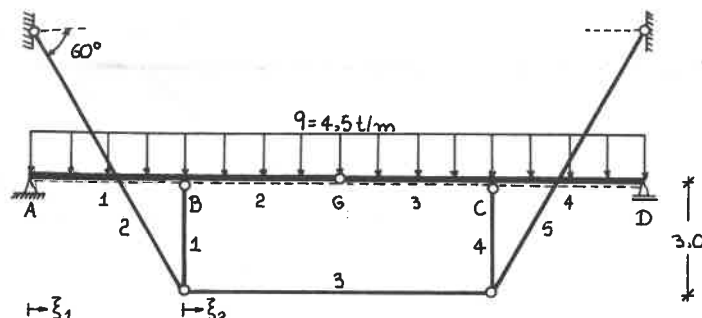
$$\frac{U_{D,z}}{U_{G_2,z}} = \frac{9,0}{3,0} \rightsquigarrow U_{D,z} = 4,26 \text{ cm}$$



Σχήμα 7.9

Παράδειγμα 46: Σημείωται η έλαστη γραφημένη υπό την έντονη μέτωπη δύναμη του σχ. 7.10
Δινοται: $EJ = 2,1 \cdot 10^4 \text{ t m}^2$, $EJ/EcFc = 0,29 \text{ m}^2$

Η έλαστη γραφημένη υπό ένα συμμετρική ως πρός τον καταμόρυφο άξονα που περνάει από την άρθρωση 6 (συμμετρικός φορέας με συμμετρική φόρμωση) και έπομπέντα για τὸν προσδιορισθεὶς όπου η ίδια άποικοτούνται μόνο οι βιδίσιες υπορ., υπορ.



$$\sum x \bar{m}_{ip} = 7.10$$

parabolas	$S_{T,P}$	$S_{T,IS}$	$S_{T,IS}$	l_T	$S_{T,P} S_{T,IS} l_T$	$S_{T,P} S_{T,IS} l_T$
1	-36,00	-0,50	-1,00	3,0	54,00	108,00
2	41,57	0,58	1,15	8,0	192,88	382,44
3	20,79	0,29	0,58	8,0	48,23	96,47
4	-36,00	-0,50	-1,00	3,0	54,00	108,00
5	41,57	0,58	1,15	8,0	192,88	382,44
					544,99	1077,35

Travaus 46.1

$$E) U_{B,P} = 0 + 0,29 \cdot 544,99 = 157,18 \text{ t m}^3 \rightarrow U_{B,P} = 0,75 \cdot 10^{-2} \text{ m} = 0,75 \text{ cm}$$

$$E) U_{G,P} = 4 \cdot \left[4,0 \cdot \left[\frac{4}{3} \cdot (-2,00) \cdot ((-36,00) + 9,00) \right] \right] + 0,29 \cdot 1077,35 = 280,00 + 312,43 \rightarrow \\ \rightarrow U_{G,P} = 1,37 \cdot 10^{-2} + 1,49 \cdot 10^{-2} = 2,86 \cdot 10^{-2} \text{ m} = 2,86 \text{ cm}$$

Neploxi A-B

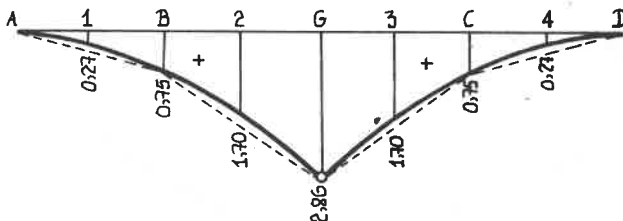
$$U_{1,P} = 0,75 \cdot 10^{-2} \cdot \xi_1 + \frac{4,0^2}{6 \cdot 2,1 \cdot 10^4} \cdot [(-36,00) \cdot w_D + 2 \cdot 9,00 \cdot w_{P1}] \rightarrow \\ \rightarrow U_{1,P} = 0,75 \cdot \xi_1 - 0,46 \cdot w_D + 0,23 \cdot w_{P1} \quad (\text{cm})$$

Neploxi B-G

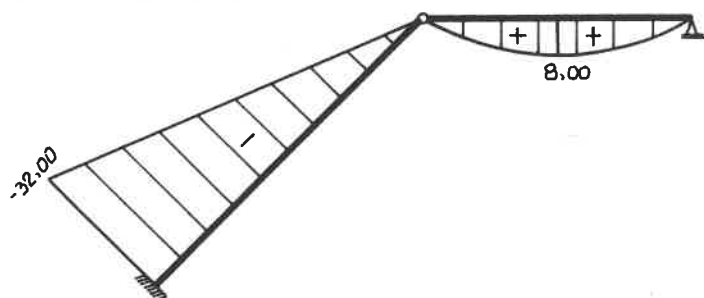
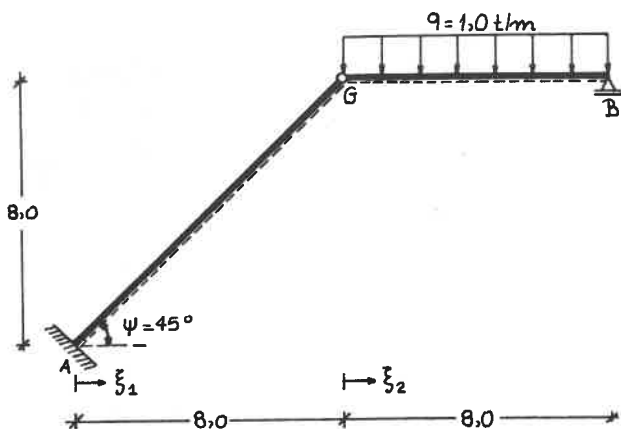
$$U_{2,P} = 0,75 \cdot 10^{-2} \cdot \xi'_1 + 2,86 \cdot 10^{-2} \cdot \xi_2 + \frac{4,0^2}{6 \cdot 2,1 \cdot 10^4} \cdot [(-36,00) \cdot w_D + 2 \cdot 9,00 \cdot w_{P1}] \rightarrow \\ \rightarrow U_{2,P} = 0,75 \cdot \xi'_1 + 2,86 \cdot \xi_2 - 0,46 \cdot w_D + 0,23 \cdot w_{P1} \quad (\text{cm})$$

$$U_{1,P} = 0,75 \cdot 0,50 - 0,46 \cdot 0,38 + 0,23 \cdot 0,31 = 0,27 \text{ cm}$$

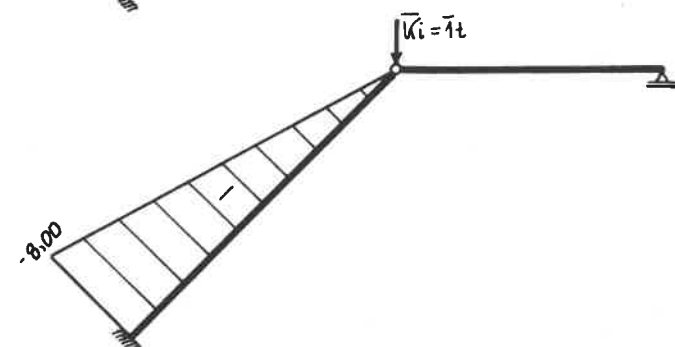
$$U_{2,P} = 0,75 \cdot 0,50 + 2,86 \cdot 0,50 - 0,46 \cdot 0,38 + 0,23 \cdot 0,31 = 1,70 \text{ cm}$$



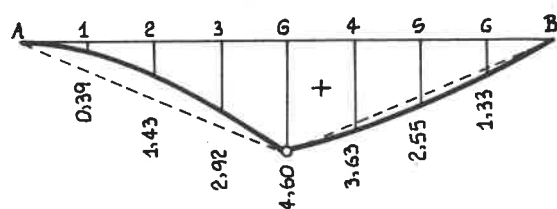
Σχήμα 7.11



M_p



\bar{M}_p



U_p

Σxημα 7.12

Παράδειγμα 47: Σητείται ή έλαστηή γραμμή Υ,ρ του φορία του σχ. 7.12.
Δίνεται: $EJ = 2,1 \cdot 10^4 \text{ t m}^2$

$$EJ U_{G,P} = \left(\frac{8,0}{\cos 45^\circ} \right) \cdot \frac{1}{3} \cdot (-8,00) \cdot (-32,00) = 965,44 \text{ t m}^3 \rightarrow$$

$$\sim U_{G,P} = 4,60 \cdot 10^{-2} \text{ m} = 4,60 \text{ cm}$$

Πέριοχή A÷G

Η έξισων της γραμμής των αυθίτων στη διεύθυνση AG μετατιθέσεων της ύπουλης άμφιεργος δουού AG, έναν: $U_{AG,M} = \frac{\ell \cos M}{KEJ} \omega$ ($K=G$, $M=-32,00$, $\omega=\omega_0$)
από την δύοια προώπτική έξισων της έλαστηής γραμμής Υ,μ στη περιοχή A÷G:

$$U_{M,M} = U_{AG,M} \cos \psi = \left[\frac{(\ell \cos \psi)^2 M}{KEJ} \omega \right] \cos \psi \rightarrow U_{M,M} = \frac{\ell^2 M}{KEJ \cos \psi} \omega$$

όπου ή η ιδιότητα προβολής του ℓ_{AG} .

$$U_{P,P} = 4,60 \cdot 10^{-2} \cdot \xi_1 + \frac{8,0^2 \cdot (-32,00)}{6 \cdot 2,1 \cdot 10^4 \cdot \cos 45^\circ} \cdot \omega_0^2 \rightarrow U_{P,P} = 4,60 \cdot \xi_1 - 2,30 \cdot \omega_0^2 \text{ (cm)}$$

Πέριοχή G÷B

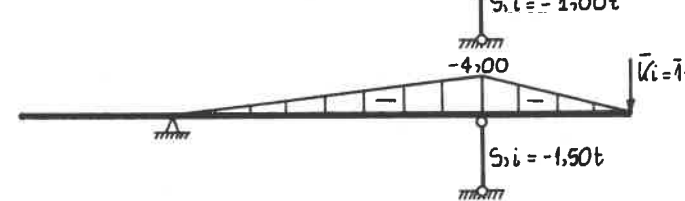
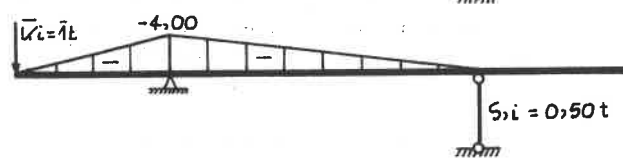
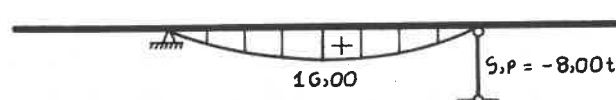
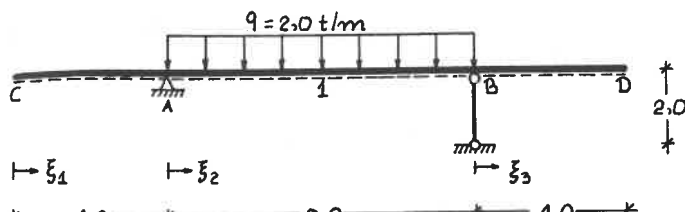
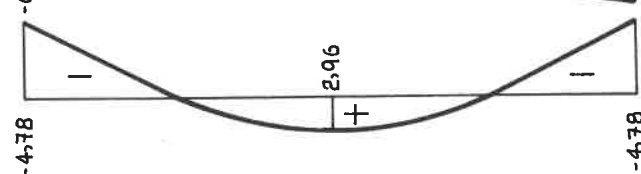
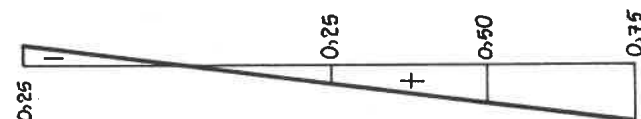
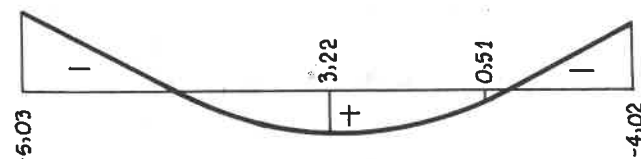
$$U_{P,P} = 4,60 \cdot 10^{-2} \cdot \xi'_1 + \frac{8,0^2 \cdot 8,00}{3 \cdot 2,1 \cdot 10^4} \cdot \omega_{P1} \rightarrow U_{P,P} = 4,60 \cdot \xi'_1 + 0,81 \cdot \omega_{P1} \text{ (cm)}$$

i	ξ_1	ξ'_1	$4,60 \cdot \xi_1$	ω_0^2	$-2,30 \cdot \omega_0^2$	$U_{i,P}$ (cm)
A	0	1,00	0	0	0	0
1	0,25	0,75	1,15	0,33	0,76	0,39
2	0,50	0,50	2,30	0,38	0,87	1,43
3	0,75	0,25	3,45	0,23	0,53	2,92
G	1,00	0	4,60	0	0	4,60
i	ξ_2	ξ'_2	$4,60 \cdot \xi'_2$	ω_{P1}	$0,81 \cdot \omega_{P1}$	$U_{i,P}$ (cm)
4	0,25	0,75	3,45	0,22	0,18	3,63
5	0,50	0,50	2,30	0,31	0,25	2,55
6	0,75	0,25	1,15	0,22	0,18	1,33
B	1,00	0	0	0	0	0

Τίτλος 47.1

Παράδειγμα 48: Σητείται ή έλαστηή γραμμή Υ,ρ του φορία του σχ. 7.13 για τις α- μόλιμες περιπτώσεις:

1. $EJ = 3,57 \cdot 10^4 \text{ t m}^2$, $E_F F_T = 3,15 \cdot 10^4 \text{ t}$
2. $J = J_{\infty}$ (δουός απειρούς μάζας), $E_F F_T = 3,15 \cdot 10^4 \text{ t}$
3. $E J = 3,57 \cdot 10^4 \text{ t m}^2$, $F_T = F_{\infty}$ (ράβδος απειρούς έμβασης)

 M, p \bar{M}, i M, i \bar{M}, i U, p U, i U, p 

$$U_{C,P} = \frac{1}{EJ} \cdot 8,0 \cdot \frac{1}{3} \cdot (-4,00) \cdot 16,00 + \frac{1}{ErFt} \cdot 0,50 \cdot (-8,00) \cdot 2,0 \rightarrow$$

$$\rightarrow U_{C,P} = -\frac{1}{EJ} \cdot 170,67 - \frac{1}{ErFt} \cdot 8,00 \quad (\text{mm})$$

$$U_{B,P} = 0 + \frac{1}{ErFt} \cdot (-1,00) \cdot (-8,00) \cdot 2,0 \rightarrow U_{B,P} = \frac{1}{ErFt} \cdot 16,00 \quad (\text{mm})$$

$$U_{D,P} = \frac{1}{EJ} \cdot 8,0 \cdot \frac{1}{3} \cdot (-4,00) \cdot 16,00 + \frac{1}{ErFt} \cdot (-1,50) \cdot (-8,00) \cdot 2,0 \rightarrow$$

$$\rightarrow U_{D,P} = -\frac{1}{EJ} \cdot 170,67 + \frac{1}{ErFt} \cdot 24,00 \quad (\text{mm})$$

Περιοχή C ÷ A

$$U_{P} = U_{C,P} \cdot \xi'_1$$

Περιοχή A ÷ B

$$U_{P} = U_{B,P} \cdot \xi_2 + \frac{8,0^2 \cdot 16,00}{3 \cdot EJ} \cdot w_{P1} \rightarrow U_{P} = U_{B,P} \cdot \xi_2 + \frac{1}{EJ} \cdot 34,133 \cdot w_{P1}$$

Περιοχή B ÷ D

$$U_{P} = U_{B,P} \cdot \xi'_3 + U_{D,P} \cdot \xi_3$$

$$1. \quad EJ = 3,57 \cdot 10^4 \text{ t m}^2, \quad ErFt = 3,15 \cdot 10^4 \text{ t}$$

$$U_{C,P} = -5,03 \text{ mm}, \quad U_{B,P} = 0,51 \text{ mm}, \quad U_{D,P} = -4,02 \text{ mm}$$

$$C \div A: U_{P} = -5,03 \cdot \xi'_1 \quad (\text{mm}).$$

$$A \div B: U_{P} = 0,51 \cdot \xi_2 + 9,56 \cdot w_{P1} \quad (\text{mm}) \rightarrow U_{P} = 3,22 \text{ mm}$$

$$B \div D: U_{P} = 0,51 \cdot \xi'_3 - 4,02 \cdot \xi_3 \quad (\text{mm})$$

$$2. \quad J = J_{\infty}, \quad ErFt = 3,15 \cdot 10^4 \text{ t}$$

Έπειδη η διάω μηδενιζεται δρός $\frac{1}{EJ} \int_{\text{αριστερή}}^{\text{διάω}} M_i \cdot r ds$, η δουσί CD στρέφεται χωρίς να παραμορφώνεται. Συνεπώς η έλαστη γραμμή ισρ έναν μία εδάφια γραμμή πού για την προσδιορισμό της δημιουργήνται οι δινθίσεις δύο σημείων της δουσί CD.

$$U_{C,P} = -0,25 \text{ mm}, \quad U_{A,P} = 0$$

$$3. \quad EJ = 3,57 \cdot 10^4 \text{ t m}^2, \quad F_t = F_{\infty}$$

$$\frac{1}{ErFt} \bar{\xi}_{t,i} \xi_{t,P} \Delta l_{t,i} = \bar{\xi}_{t,i} \Delta l_{t,P} = \xi_{t,P} \Delta l_{t,i} = 0, \quad \Delta l_{t,a} = 0$$

$$U_{C,P} = -4,78 \text{ mm}, \quad U_{B,P} = 0, \quad U_{D,P} = -4,78 \text{ mm}$$

$$C \div A: U_{P} = -4,78 \cdot \xi'_1 \quad (\text{mm})$$

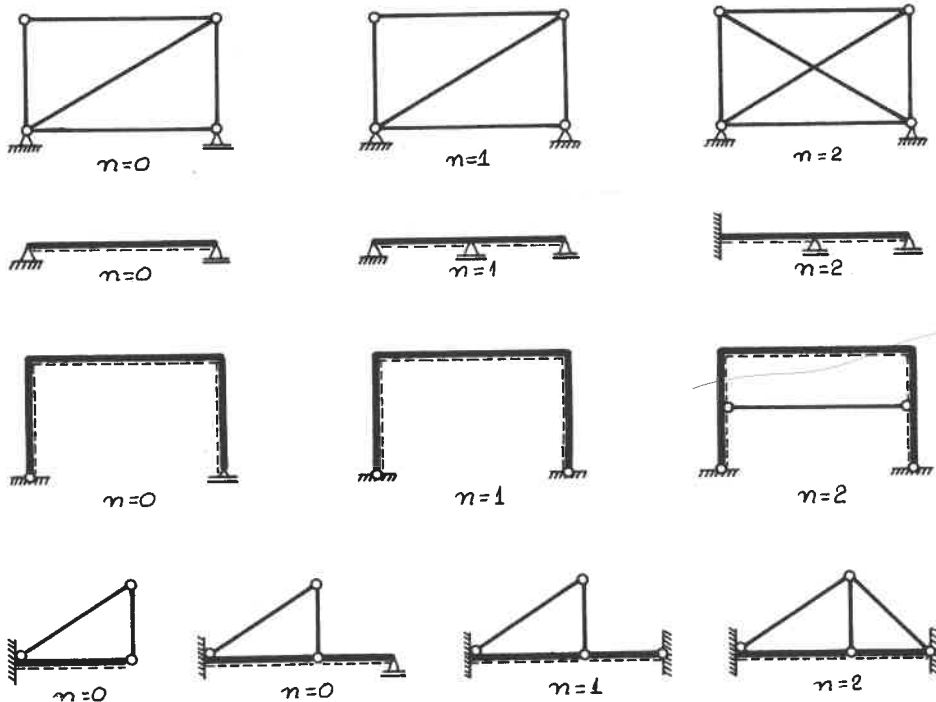
$$A \div B: U_{P} = 9,56 \cdot w_{P1} \quad (\text{mm}) \rightarrow U_{P} = 2,96 \text{ mm}$$

$$B \div D: U_{P} = -4,78 \cdot \xi_3 \quad (\text{mm})$$

8. ΥΠΕΡΣΤΑΤΙΚΟΙ ΦΟΡΕΙΣ

8.1. Ο βαθμός στατικής δορισμάς

Ο φορέας δύναμεις ή πιεστατικός ή στατικώς δόριστος όταν έχει περισσότερες ράβδους (ξέωρεψές ή ξώρεψές) από αυτές που άπαιτούνται για την εστίαση στηρίζοντας. Ο αριθμός n των ήτοι πλέον ράβδων δύναμεις δορισμάς στατικής δορισμάς. Συνεπώς σε ένα υπερστατικό φορέα με δορισμό στατικής δορισμάς η στατικά δόριστα ή η υπεράριθμα μεγέθη. Στή συνέχεια δίνονται μεριά σταραδέγματα μόρφωσης και η πολογισμού του δορικού στατικής δορισμάς υπερστατικών φορέων.



Σχήμα 8.1

Για την έθιμην ένσταση υπερστατικού φορέα άπαιτούνται τώσες ξέισμασις ή λαστικότητας ήσα μένον τη υπεράριθμα μεγέθη. Οι δύο βασικές μέθοδοι έπιληματος των υπερστατικών φορέων είναι:

1. ή μέθοδος Δυναμέων
2. ή μέθοδος μετασημόσεων